

การประเมินจากเบื้องต้นเชิงภาพสำหรับระบบเชอร์โวเชิงภาพโดยการใช้กล้องซึ่งวิวัฒนาการ
กับการประเมินด้วยพุนามเทียบเลอร์

นายปริวัตร แก้วสกิตย์

สถาบันวิทยบริการ
อุดมศึกษาแห่งวิทยาลัย

วิทยานิพนธ์นี้เป็นส่วนหนึ่งของการศึกษาตามหลักสูตรปริญญาวิทยาศาสตรมหาบัณฑิต

สาขาวิชาวิทยาศาสตร์คอมพิวเตอร์ ภาควิชาวิศวกรรมคอมพิวเตอร์

คณะวิศวกรรมศาสตร์ จุฬาลงกรณ์มหาวิทยาลัย

ปีการศึกษา 2548

ISBN 974-53-2067-6

ลิขสิทธิ์ของจุฬาลงกรณ์มหาวิทยาลัย

IMAGE JACOBIAN ESTIMATION FOR VISUAL SERVO SYSTEMS USING
EVOLUTIONARY STRATEGY WITH TAYLOR POLYNOMIAL APPROXIMATION

Mr. Pariwat Keosatit

รายงานวิทยบริการ
จุฬาลงกรณ์มหาวิทยาลัย
A Thesis Submitted in Partial Fulfillment of the Requirements
for the Degree of Master of Science in Computer Science
Department of Computer Engineering

Faculty of Engineering

Chulalongkorn University

Academic Year 2005

ISBN 974-53-2067-6

หัวข้อวิทยานิพนธ์	การประมาณจากเบียนเชิงภาพสำหรับระบบเชอร์โวเชิงภาพโดยการใช้กลยุทธ์เชิงวิพัฒนาการกับการประมาณด้วยพหุนามเทบีเลอร์
โดย	นายปริวัตร แก้วสกิดย์
สาขาวิชา	วิทยาศาสตร์คอมพิวเตอร์
อาจารย์ที่ปรึกษา	รองศาสตราจารย์ ดร.ประภาส จงสกิดย์วัฒนา

คณะกรรมการค่าสัตร จุฬาลงกรณ์มหาวิทยาลัย อนุมัติให้นับวิทยานิพนธ์ฉบับนี้เป็นส่วนหนึ่งของการศึกษาตามหลักสูตรปริญญามหาบัณฑิต

PK กมบดีคณะวิศวกรรมศาสตร์
(ศาสตราจารย์ ดร.คิงก้า ลาวณย์พิริ)

คณะกรรมการสอนวิทยานิพนธ์

 ประธานกรรมการ
(อาจารย์ ดร. อรรถวิทย์ สุดแสง)

ปรัชญา ดูงน์ลิตเตอร์เรนจ์ (รองศาสตราจารย์ ดร.ประภากาน คงสกิดิย์วัฒนา)

กรรมการ
(ผู้ช่วยศาสตราจารย์ ดร.วิทยา วัฒนสุ โภประสีที)
J.

..... กรรมการ
..... อาจารย์ ดร.เศรษฐา ปานจาม

ปริวัตร แก้วสกิดย์ : การประมาณจากเบียนเชิงภาพสำหรับระบบเซอร์โวเชิงภาพโดยการใช้กลยุทธ์เชิงวิพากษ์กับการประมาณด้วยพหุนามเทย์เลอร์. (IMAGE JACOBIAN ESTIMATION FOR VISUAL SERVO SYSTEMS USING EVOLUTIONARY STRATEGY WITH TAYLOR POLYNOMIAL APPROXIMATION) อ.ที่ปรึกษา: รศ.ดร.ประภาส จงสกิดย์วัฒนา, 46 หน้า. ISBN 974-53-2067-6.

วิทยานิพนธ์ฉบับนี้เสนอวิธีการประมาณจากเบียนเชิงภาพสำหรับระบบเซอร์โวเชิงภาพโดยการใช้กลยุทธ์เชิงวิพากษ์กับการประมาณด้วยพหุนามเทย์เลอร์ วิธีที่นำเสนอเป็นวิธีที่ปรับจากเบียนเชิงภาพลดลงของการเคลื่อนที่ โดยจะประมาณจากเบียนเชิงภาพของตำแหน่งปัจจุบันด้วยพหุนามเทย์เลอร์และใช้กลยุทธ์เชิงวิพากษ์การหาค่าสัมประสิทธิ์ของพหุนามนั้น งานวิจัยนี้ได้ทำการทดลองโดยจำลองระบบเซอร์โวเชิงภาพที่มีคือรีของความอิสระเท่ากับ 3 ปี่อนกลับด้วยระบบกล้องสตีเวอร์โล การทดลองได้เปรียบเทียบวิธีนี้กับวิธีที่ใช้จากเบียนเชิงภาพค่าเดียวกันทุกจุดลดลงของการเคลื่อนที่จำนวน 1 วิธีและวิธีที่ปรับค่าจากเบียนเชิงภาพใหม่ทุกจุดลดลงของการเคลื่อนที่โดยใช้ข้อมูลการเคลื่อนครั้งที่แล้วซึ่งทำให้ได้จากเบียนเชิงภาพที่เหมาะสมกับจุดที่แล้วจำนวน 2 วิธี ผลการทดลองแสดงว่าวิธีนี้สามารถทำงานได้ดีและให้ค่าความผิดพลาดของวิดีโอยังคงกว่าวิธีอื่นๆ

สถาบันวิทยบริการ จุฬาลงกรณ์มหาวิทยาลัย

ภาควิชา วิศวกรรมคอมพิวเตอร์	ลายมือชื่อนิสิต <u>ปริวัตร แก้วสกิดย์</u>
สาขาวิชา วิทยาศาสตร์คอมพิวเตอร์	ลายมือชื่ออาจารย์ที่ปรึกษา <u>教授 ดร. ประภาส จงสกิดย์</u>
ปีการศึกษา 2548	ลายมือชื่ออาจารย์ที่ปรึกษาร่วม -

4570413621 : MAJOR COMPUTER SCIENCE

KEY WORD: IMAGE JACOBIAN / VISUAL SERVO SYSTEM / EVOLUTIONARY STRATEGY / TAYLOR POLYNOMIAL APPROXIMATION

PARIWAT KEOSATIT : IMAGE JACOBIAN ESTIMATION FOR VISUAL SERVO SYSTEMS USING EVOLUTIONARY STRATEGY WITH TAYLOR POLYNOMIAL APPROXIMATION. THESIS ADVISOR : ASSOC. PROF. PRABHAS CHONGSTITVATANA, Ph.D., 46 pp. ISBN 974-53-2067-6.

The thesis proposes an image Jacobian estimation method for visual servo systems using evolutionary strategy with Taylor polynomial approximation. The proposed technique adjusts image Jacobian for every movement. Taylor polynomial is used to approximate image Jacobian function. Evolutionary strategy is used to find its coefficients. A task by a three-degree-of-freedom robot manipulator with visual feedback from stereo cameras is exemplified. The experiment is carried out by comparing the proposed method with one offline method and the other two online methods which update the image Jacobian in such a way as to satisfy the most recent observation. The result shows that the proposed method when applied to adapt image Jacobian performs the visual servoing task with smaller trajectory error than the other methods.

สถาบันวิทยบริการ จุฬาลงกรณ์มหาวิทยาลัย

Department Computer Engineering

Student's signature *Pariwat Keosatit*

Field of study Computer Science

Advisor's signature *P. Chongstitvatan*

Academic year 2005

Co-advisor's signature -

กิตติกรรมประกาศ

วิทยานิพนธ์ฉบับนี้สำมารถดำเนินการได้ด้วยความช่วยเหลือของ รศ.ดร.ประภาส จงสถิตย์วัฒนา อาจารย์ที่ปรึกษาวิทยานิพนธ์ ซึ่งอยู่ดูแลให้ดำเนินการแก้ไขปัญหาต่าง ๆ ทั้ง ปัญหาเชิงแนวคิด ปัญหาเชิงเทคนิค ตลอดจนให้คำปรึกษาเรื่องชีวิตการเรียน อย่างดี ไม่ทุกข์สุข และเป็นกำลังใจให้ตลอดมา ผู้เขียนขอกราบขอบพระคุณเป็นอย่างยิ่ง

ผู้เขียนขอขอบคุณเจ้าหน้าที่ภาควิชาทุกท่านที่ช่วยเหลือในการติดต่อประสานงาน รวมถึง อำนวยความสะดวกในการทำวิทยานิพนธ์ ตลอดจนเป็นกำลังใจให้

สุดท้ายนี้ ผู้เขียนขอกราบขอบพระคุณบิดาและมารดาที่ให้การสนับสนุนผู้เขียนในทุก ๆ ด้าน

สถาบันวิทยบริการ
จุฬาลงกรณ์มหาวิทยาลัย

สารบัญ

	หน้า
บทคัดย่อภาษาไทย	๑
บทคัดย่อภาษาอังกฤษ	๒
กิตติกรรมประกาศ.....	๓
สารบัญ	๔
สารบัญตาราง	๘
สารบัญภาพ	๙
บทที่	
1 บทนำ.....	1
ความเป็นมาและความสำคัญของปัญหา.....	1
งานวิจัยที่เกี่ยวข้อง	3
วัสดุประสงค์	4
ขอบเขตการวิจัย	4
ขั้นตอนการวิจัย.....	5
ประโยชน์.....	5
ผลงานที่ตีพิมพ์จากงานวิจัย	5
2 กลยุทธ์เชิงวิถีทางการ	6
วิถีทางการ	6
ดำเนินกลยุทธ์เชิงวิถีทางการ	7
การประยุกต์กลยุทธ์เชิงวิถีทางการกับปัญหาทางคอมพิวเตอร์	7
กลยุทธ์เชิงวิถีทางการประเภทต่าง ๆ	8
นิยามสัญลักษณ์และสมมุตฐาน	9
กลยุทธ์เชิงวิถีทางการแบบ $(1+1)$	10
กลยุทธ์เชิงวิถีทางการแบบ $(\mu+1)$	11
กลยุทธ์เชิงวิถีทางการแบบ (μ, λ) และ $(\mu+\lambda)$	13
สรุปท้ายบท.....	15
3 การประมาณด้วยพหุนามเทย์เลอร์	16
สรุปท้ายบท.....	16
4 ระบบเซอร์โวเชิงภาพและจาโคเมียนเชิงภาพ.....	17
ระบบเซอร์โวเชิงภาพ	17

หน้า	
ตัวแบบการฉายของกล้อง	17
สถาปัตยกรรมการเชอร์โว	19
จาโคเบียนเชิงภาพ.....	20
สรุปท้ายบท.....	20
5 วิธีการประมาณจาโคเบียนเชิงภาพ	21
วิธีของงานวิจัยของ Conkie และ Chongstitvatana	23
วิธีของงานวิจัยของ Jagersand, Nelson, และ Fuentes	24
วิธีของงานวิจัยของ Kata Praditwong และ Prabhas Chongstitvatana	27
วิธีของงานวิจัยนี้	29
สรุปท้ายบท.....	32
6 การทดลอง.....	34
สภาพแวดล้อมในการทดลอง	34
วิธีการประเมินผล	37
ผลการทดลอง	38
สรุปท้ายบท.....	40
7 บทสรุปและข้อเสนอแนะ	41
สรุปผลการวิจัย	41
ข้อเสนอแนะ	41
รายการอ้างอิง	43
ประวัติผู้เขียนวิทยานิพนธ์	46

สารบัญตาราง

	หน้า
ตาราง	๙
1 วิเคราะห์และเปรียบเทียบวิธีการประมาณจากเบียนเชิงภาพแบบต่าง ๆ	32
2 แสดงจำนวนครั้งในการเคลื่อนแขนเข้าสู่ปีกหมาย (ครั้ง) เมื่อขนาดของก้าวเป็น $1/4$	38
3 แสดงค่าความผิดพลาดของวิธีเฉลี่ย (มิลลิเมตร) เมื่อขนาดของก้าวเป็น $1/4$	38
4 แสดงเวลาเฉลี่ยต่อการเคลื่อนที่ 1 ครั้ง (วินาที) เมื่อขนาดของก้าวเป็น $1/4$	39
5 แสดงจำนวนครั้งในการเคลื่อนแขนเข้าสู่ปีกหมาย (ครั้ง) เมื่อขนาดของก้าวเป็น $1/8$	39
6 แสดงค่าความผิดพลาดของวิธีเฉลี่ย (มิลลิเมตร) เมื่อขนาดของก้าวเป็น $1/8$	39
7 แสดงเวลาเฉลี่ยต่อการเคลื่อนที่ 1 ครั้ง (วินาที) เมื่อขนาดของก้าวเป็น $1/8$	39

**สถาบันวิทยบริการ
จุฬาลงกรณ์มหาวิทยาลัย**

สารบัญภาพ

ภาพประกอบ	หน้า
1 ระบบเซอร์โวเชิงภาพบนพื้นฐานคำแห่งนั่ง	2
2 ระบบเซอร์โวเชิงภาพบนพื้นฐานภาพ	2
3 แสดงทรงรีมิวเตชันสำหรับกรณี $n = 2, n_{\sigma} = 2, n_{\alpha} = 1$	14
4 กรอบพิกัดสำหรับระบบกล้อง.....	18
5 ระบบเซอร์โวเชิงภาพบนพื้นฐานคำแห่งนั่ง	19
6 ระบบเซอร์โวเชิงภาพบนพื้นฐานภาพ	19
7 คำแห่งนั่งของสถานการณ์อ้างอิงที่จะใช้ในการวิเคราะห์และเปรียบเทียบวิธีการประมาณ จาโคเบียนเชิงภาพแบบต่าง ๆ	21
8 แผนภาพแสดงขั้นตอนของสถานการณ์อ้างอิง	22
9 คำแห่งนั่งของสถานการณ์อ้างอิงสำหรับวิธีการประมาณจาโคเบียนเชิงภาพของ Conkie และ Chongstitvatana.....	23
10 แผนภาพแสดงขั้นตอนของวิธีการประมาณจาโคเบียนเชิงภาพของ Conkie และ Chongstitvatana.....	24
11 คำแห่งนั่งของสถานการณ์อ้างอิงสำหรับวิธีการประมาณจาโคเบียนเชิงภาพของ Jagersand, Nelson, และ Fuentes	24
12 แผนภาพแสดงขั้นตอนของวิธีการประมาณจาโคเบียนเชิงภาพของ Jagersand, Nelson, และ Fuentes	27
13 คำแห่งนั่งของสถานการณ์อ้างอิงสำหรับวิธีการประมาณจาโคเบียนเชิงภาพของ Kata Praditwong และ Prabhas Chongstitvatana	28
14 แผนภาพแสดงขั้นตอนของวิธีการประมาณจาโคเบียนเชิงภาพของ Kata Praditwong และ Prabhas Chongstitvatana	29
15 บริเวณรอบๆ จุด (a_1, a_2, \dots, a_n) ใน การประมาณด้วยพหุนามเทย์เลอร์	29
16 กราฟแสดงแนวคิดการประมาณด้วยพหุนามเทย์เลอร์รอบๆ จุด (a_1, a_2, \dots, a_n)	30
17 คำแห่งนั่งของสถานการณ์อ้างอิงสำหรับวิธีการประมาณจาโคเบียนเชิงภาพของงานวิจัยนี้.....	30
18 แผนภาพแสดงขั้นตอนของวิธีการประมาณจาโคเบียนเชิงภาพของงานวิจัยนี้.....	32
19 ระบบเซอร์โวเชิงภาพที่ใช้ในการทดลอง.....	34
20 แขนหุ้นชนต์ที่ใช้ในการจำลอง PUMA 560	35
21 การแปลงค่าพิกัดในโลกจริงไปเป็นค่าพิกัดในระบบพิกัดของกล้อง	35
22 การเคลื่อนที่ของปลายแขนเข้าสู่เป้าหมาย	37

บทที่ 1

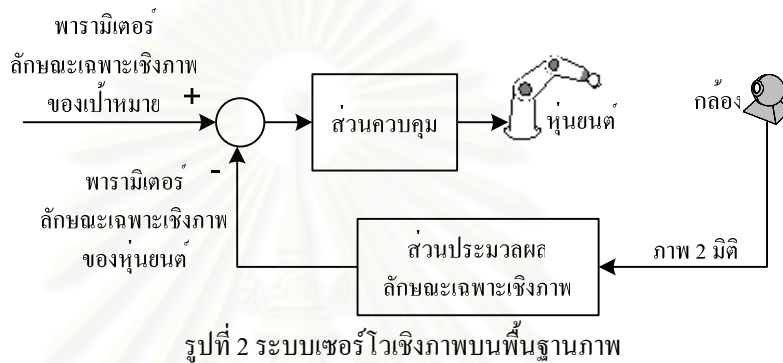
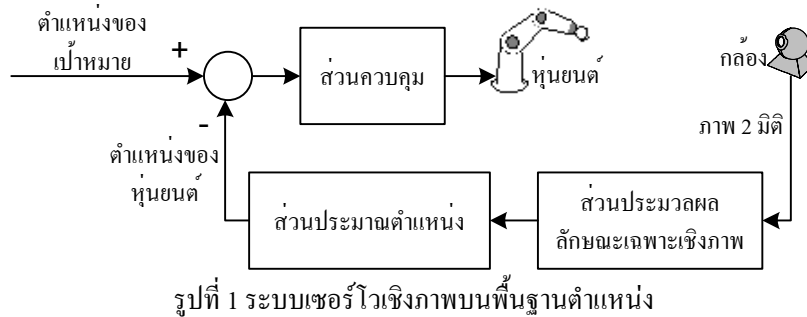
บทนำ

ความเป็นมาและความสำคัญของปัญหา

การควบคุมหุ่นยนต์โดยใช้ข้อมูลป้อนกลับจากการบันการมองเห็นถูกนำมาใช้เพื่อเพิ่มความแม่นยำและความถูกต้องของระบบหุ่นยนต์ ระบบการควบคุมหุ่นยนต์แบบนี้เรียกว่าระบบเซอร์โวเชิงภาพ (visual servo system) [1] ระบบเซอร์โวเชิงภาพสามารถนำไปประยุกต์ใช้ในงานด้านต่างๆ ได้อย่างกว้างขวาง เช่น การผลิต (การหยิบวัสดุบนสายพานและการประกอบชิ้นส่วน), การควบคุมพวงมาลัยรถยนต์, การจอดเครื่องบิน, การทำให้สมดุล, การทำงานระยะไกล เป็นต้น แม้ว่าระบบเซอร์โวเชิงภาพได้เกิดขึ้นมาเป็นเวลานานแล้ว การประยุกต์ใช้ งานเทคโนโลยีชั้นคงถูกจำกัด เนื่องจากความต้องการฮาร์ดแวร์ประสิทธิภาพสูงที่มีราคาแพง อย่างไรก็ตาม อุปกรณ์ เช่น กล้อง, ชาร์ดแวร์ประมวลผลภาพ, คอมพิวเตอร์ ฯลฯ มีราคาถูกลง และมีแนวโน้มที่จะถูกลงอีกในอนาคต อีกทั้งกล้องในห้องคลาดปัจจุบันเป็นกล้องที่มีประสิทธิภาพสูง เช่น มีความละเอียดภาพ (image resolution) สูงกว่ามาตรฐานของโทรศัพท์มือถือ เช่นเดียวกัน แต่เทคโนโลยีที่มีความสามารถสูงขึ้นในปัจจุบัน, และแนวโน้มของราคาดังที่ได้กล่าวมา ระบบเซอร์โวเชิงภาพจะมีความสำคัญ และกลายเป็นระบบควบคุมสำหรับหุ่นยนต์ทั่วไปในอนาคต

โดยทั่วไปภายนอกสภาพแวดล้อมที่ถูกจัดการด้วยกระบวนการทางวิศวกรรมอย่างระมัดระวัง เช่น ห้องทดลองหรือโรงงานอุตสาหกรรม เกือบจะเป็นไปไม่ได้เลยที่จะได้ข้อมูลโครงร่าง (configuration) และตัวแบบ (model) ของระบบที่มีความถูกต้องในระดับมิลลิเมตร [3] แม้แต่ในโรงงานอุตสาหกรรม การเทียบมาตรฐาน (calibration) อุปกรณ์ต่างๆ ในระบบ เพื่อให้ได้โครงร่างและตัวแบบของระบบที่ถูกต้อง ที่เป็นกระบวนการที่ยากและเต็มไปด้วยความผิดพลาด [4] ด้วยเหตุนี้จึงเป็นแรงบันดาลใจให้การวิจัยนี้ศึกษาระบบเซอร์โวเชิงภาพที่ต้องการความรู้ก่อนประสบการณ์ (prior knowledge) เกี่ยวกับโครงร่างและตัวแบบของระบบ น้อยที่สุด

ระบบเซอร์โวเชิงภาพสามารถจำแนกตามลักษณะอินพุตของส่วนควบคุม ได้ 2 ประเภท ได้แก่ ระบบบนพื้นฐานตำแหน่ง (position-based system) และระบบบนพื้นฐานภาพ (image-based system) [5] ในระบบบนพื้นฐานตำแหน่ง ลักษณะเฉพาะเชิงภาพ (image feature) เช่น สัญลักษณ์ที่ทำไว้ที่จุดปลายของแขนหุ่นยนต์ จะถูกดึงออกมาจากภาพ 2 มิติ แล้วใช้ข้อมูลทางเรขาคณิตกับตัวแบบของกล้อง เพื่อที่จะประมาณตำแหน่งในโลกจริงดังรูปที่ 1 ส่วนระบบบนพื้นฐานภาพ ค่าที่ป้อนกลับไปจะอยู่ในรูปแบบค่าที่ได้จากลักษณะเฉพาะเชิงภาพที่เรียกว่า พารามิเตอร์ลักษณะเฉพาะเชิงภาพ (image feature parameter) โดยตรง เช่น ค่าพิกัดระนาบภาพ (image plane coordinates) ของลักษณะเฉพาะเชิงภาพ ดังรูปที่ 2 จะเห็นว่า ระบบบนพื้นฐานของภาพจะไม่ต้องแปลงหน้ายของภาพเป็นตำแหน่งในโลกจริง ทำให้ลดปัญหาความผิดพลาดเนื่องจากการสร้างแบบจำลองของกล้อง ดังนั้น ระบบบนพื้นฐานภาพจึงถูกเลือกใช้ในการวิจัยนี้



ในระบบบนพื้นฐานภาพ อินพุตของส่วนควบคุมจะอยู่ในรูปแบบพารามิเตอร์ลักษณะเฉพาะเชิงภาพ ในขณะที่อินพุตของหุ่นยนต์มักจะอยู่ในรูปแบบพิกัดข้อต่อของหุ่นยนต์หรือตำแหน่งของหุ่นยนต์ เพราะฉะนั้น จึงจำเป็นจะต้องสัมพันธ์ความเปลี่ยนแปลงของพารามิเตอร์ลักษณะเฉพาะเชิงภาพกับความเปลี่ยนแปลงของ ตำแหน่งของหุ่นยนต์ เมทริกซ์ที่ทำหน้าที่นี้เรียกว่า Jacobian [2] โดยมีความสัมพันธ์ คือ

$$\Delta \mathbf{f} = \mathbf{J}(\mathbf{r}) \Delta \mathbf{r} \quad (1)$$

เมื่อ $\mathbf{J}(\mathbf{r})$ คือ Jacobian เชิงภาพซึ่งเป็นฟังก์ชันของตำแหน่ง โดยสมการของฟังก์ชันจะขึ้นอยู่กับโครงแบบและ ตัวแบบของระบบ, $\Delta \mathbf{f}$ คือ เวกเตอร์ของความเปลี่ยนแปลงของพารามิเตอร์ลักษณะเฉพาะเชิงภาพ, และ $\Delta \mathbf{r}$ คือ เวกเตอร์ของความเปลี่ยนแปลงของตำแหน่งของหุ่นยนต์

ในระบบที่ไม่มีความรู้เกี่ยวกับโครงแบบและตัวแบบของระบบที่ถูกต้อง เราไม่สามารถคำนวณหา จา Jacobian เชิงภาพโดยตรงได้ เพราะฉะนั้นการประมาณจา Jacobian เชิงภาพจึงจำเป็นสำหรับระบบแบบนี้

วิทยานิพนธ์นี้จะเสนอการวิจัยหาวิธีประมาณจา Jacobian เชิงภาพสำหรับระบบเซอร์โวเชิงภาพ โดยใช้ความรู้ก่อนประสบการณ์เกี่ยวกับโครงแบบและตัวแบบของระบบให้น้อยที่สุด

งานวิจัยที่เกี่ยวข้อง

ตั้งแต่งานของ Shirai และ Inoue [6] ซึ่งเป็นยุคแรกของการนำการป้อนกลับจากระบบการมองเห็นมาใช้ในการควบคุมหุ่นยนต์ในช่วงต้น 1980s งานวิจัยทางด้านนี้มีความก้าวหน้าที่ค่อนข้างช้า แต่ในช่วงไม่กี่ปีที่ผ่านมา งานวิจัยที่ถูกติดพิมพ์มีจำนวนเพิ่มขึ้นอย่างเห็นได้ชัด เนื่องจากราคาที่ถูกลงของอุปกรณ์ในระบบการมองเห็นและพลังการคำนวณของเครื่องคอมพิวเตอร์ส่วนบุคคล (personal computer) ที่ได้ก้าวข้ามจุดที่ทำให้การประมวลผลภาพไม่เป็นปัญหาอีกต่อไป

ต่อมา ระบบแบบนี้ถูกเรียกว่าระบบเซอร์โวเชิงภาพ โดย Hill และ Park [1] เป็นพวกรุ่นที่ใช้คำเฉพาะนี้ ในปี 1979 เพื่อเน้นให้เห็นความแตกต่างระหว่างงานของพวกขา กับระบบที่ไม่ป้อนกลับ

ในปี 1987 Sanderson, Weiss, และ Neuman [7] ได้สร้างขาโโคเบีญเชิงภาพซึ่งพากขาอ้างถึงในนาม ฟีเดอร์เซนซิทิวทิเมทริกซ์ (feature sensitivity matrix) เพื่อใช้กับระบบเซอร์โวเชิงภาพบนพื้นฐานภาพ นอกจากนี้ ขาโโคเบีญเชิงภาพยังถูกอ้างถึงในนามอินเตอร์แอคชันเมตริกซ์ (interaction matrix) [8] และบีเมทริกซ์ (B matrix) [9], [10] งานวิจัยอื่น ๆ ที่ใช้ขาโโคเบีญเชิงภาพ เช่น [11], [12], [13] ฯลฯ

ตั้งแต่ช่วงปลาย 1990s เป็นต้นมา ได้มีความพยายามประมาณค่าโโคเบีญเชิงภาพสำหรับระบบเซอร์โวเชิงภาพ งานวิจัยเหล่านี้ได้แก่

ปี 1990 Conkie และ Chongstitvatana [14] ได้ประมาณค่าโโคเบีญเชิงภาพขนาด 3×3 โดยประมาณค่า ขาโโคเบีญเชิงภาพเพียงครั้งเดียวที่จุดเริ่มต้น และใช้ค่าขาโโคเบีญเชิงภาพนั้นเพียงค่าเดียวตลอดการเคลื่อนที่ การประมาณค่าขาโโคเบีญเชิงภาพด้วยวิธีนี้จะใช้การเคลื่อนที่ของหุ่นยนต์ที่จุดเริ่มต้นจำนวน 3 ครั้ง สมมุติให้หุ่นยนต์เคลื่อนที่ไป $[\Delta r_1, 0, 0]^T$, $[0, \Delta r_2, 0]^T$, และ $[0, 0, \Delta r_3]^T$ ทำให้ได้เวคเตอร์ของความเปลี่ยนแปลงของพารามิเตอร์ลักษณะเฉพาะเชิงภาพเป็น $[\Delta f_{11}, \Delta f_{21}, \Delta f_{31}]^T$, $[\Delta f_{12}, \Delta f_{22}, \Delta f_{32}]^T$, และ $[\Delta f_{13}, \Delta f_{23}, \Delta f_{33}]^T$ ตามลำดับ ค่าขาโโคเบีญเชิงภาพ \mathbf{J} ที่ได้จะเป็น

$$\mathbf{J} = \begin{bmatrix} \frac{\Delta f_{11}}{\Delta r_1} & \frac{\Delta f_{12}}{\Delta r_2} & \frac{\Delta f_{13}}{\Delta r_3} \\ \frac{\Delta f_{21}}{\Delta r_1} & \frac{\Delta f_{22}}{\Delta r_2} & \frac{\Delta f_{23}}{\Delta r_3} \\ \frac{\Delta f_{31}}{\Delta r_1} & \frac{\Delta f_{32}}{\Delta r_2} & \frac{\Delta f_{33}}{\Delta r_3} \end{bmatrix} \quad (2)$$

อย่างไรก็ตามค่าขาโโคเบีญเชิงภาพที่ได้นี้จะใช้ได้เฉพาะบริเวณใกล้จุดที่ประมาณเท่านั้น

ในปี 1996-1997 Jagersand, Fuentes, และ Nelson [3], [15], [16] ได้พยากรณ์ประมาณค่าขาโโคเบีญเชิงภาพที่ดำเนินการปัจจุบัน \mathbf{J}_c ให้มีความสัมพันธ์เป็นไปตามสมการที่ 3

$$\Delta \mathbf{f}_l = \mathbf{J}_c \Delta \mathbf{r}_l \quad (3)$$

เมื่อ $\Delta\mathbf{f}_l$ เป็นเวคเตอร์ของความเปลี่ยนแปลงของพารามิเตอร์ลักษณะเฉพาะเชิงภาพ และ $\Delta\mathbf{r}_l$ เป็นเวคเตอร์ของความเปลี่ยนแปลงของตำแหน่งของหุ่นยนต์ในการเคลื่อนที่จริงครั้งที่แล้ว โดย Jagersand และคณะใช้การทำให้เหมาะสมที่สุดไม่เชิงเส้น (nonlinear optimization) ที่เรียกว่าบรอยเดน (Broyden method) ปรับค่าจากโโคเบี้ยนเชิงภาพที่ได้จากการประมาณครั้งที่แล้ว จนหาค่าจากโโคเบี้ยนเชิงภาพ \mathbf{J}_c ที่ต้องการได้จาก

$$\mathbf{J}_c = \mathbf{J}_l + \frac{(\Delta\mathbf{f}_l - \mathbf{J}_l \Delta\mathbf{r}) \Delta\mathbf{r}^T}{\Delta\mathbf{r}^T \Delta\mathbf{r}} \quad (4)$$

นอกจากนี้ยังมีงานวิจัยที่ใช้วิธีประมาณจากโโคเบี้ยนเชิงภาพแบบเดียวกันกับงานของ Jagersand และคณะอีก ได้แก่ งานวิจัยของ Hosoda, Sakamoto, และ Asada [17], [18]

ในปี 2001 Kata Praditwong และ Prabhas Chongstitvatana [19], [20] ได้ใช้กลยุทธ์เชิงวิวัฒนาการ (evolutionary strategy) ประมาณจากโโคเบี้ยนเชิงภาพ โดยนำข้อมูลการเคลื่อนที่จริงของหุ่นยนต์ครั้งที่แล้วมาใช้คำนวณค่าความเหมาะสม (fitness) ของค่าจากโโคเบี้ยนเชิงภาพ ค่าจากโโคเบี้ยนเชิงภาพที่มีค่าความเหมาะสมที่ดีจะให้ความสัมพันธ์ที่ใกล้เคียงกับสมการที่ 3

วัตถุประสงค์

เพื่อหาวิธีประมาณจากโโคเบี้ยนเชิงภาพสำหรับระบบเซอร์โวเชิงภาพ เพื่อเพิ่มความถูกต้องของระบบหุ่นยนต์

ขอบเขตการวิจัย

1. วิธีประมาณจากโโคเบี้ยนเชิงภาพที่ออกแบบให้สำหรับระบบเซอร์โวเชิงภาพบนพื้นฐานภาพ
2. การประเมินผลวิธีประมาณจากโโคเบี้ยนเชิงภาพที่ได้ออกแบบทำในระบบเซอร์โวเชิงภาพที่ระบบหุ่นยนต์เป็นระบบแบบหุ่นยนต์ 3 มิติที่มีดีกรีของความอิสระ (degree of freedom) เท่ากับ 3 และระบบการมองเห็นเป็นระบบกล้อง stereovideo (stereo camera system)

โดยการทดลองจะทำในโปรแกรมจำลอง (simulator) ซึ่งจะเปรียบเทียบวิธีประมาณจากโโคเบี้ยนเชิงภาพ 4 วิธี ได้แก่

1. วิธีของงานวิจัยของ Conkie และ Chongstitvatana [14]
2. วิธีของงานวิจัยของ Jagersand, Nelson, และ Fuentes [3], [15], [16]
3. วิธีของงานวิจัยของ Kata Praditwong และ Prabhas Chongstitvatana [19], [20]
4. วิธีของงานวิจัยนี้

ขั้นตอนการวิจัย

1. ศึกษาระบบทเชอร์โวเชิงภาพและจาโคเบียนเชิงภาพ
2. ศึกษางานวิจัยที่เกี่ยวข้อง
3. ศึกษาการประยุกต์ใช้กลยุทธ์เชิงวิจัยในการและ การประมาณด้วยพหุนามเทย์เลอร์ในการประมาณจาโคเบียนเชิงภาพ
4. ออกแบบวิธีประมาณจาโคเบียนเชิงภาพ
5. ออกแบบการทดลอง เพื่อประเมินวิธีประมาณจาโคเบียนเชิงภาพที่ได้ออกแบบไว้
6. เขียนโปรแกรมจำลอง เพื่อใช้ในการทดลอง
7. ทดลอง และบันทึกผลการทดลอง
8. วิเคราะห์ผลการทดลอง และสรุปผลการวิจัย

ประโยชน์

ได้วิธีประมาณจาโคเบียนเชิงภาพสำหรับระบบเชอร์โวเชิงภาพที่ช่วยเพิ่มความถูกต้องของระบบหุ่นยนต์ โดยใช้ความรู้ก่อนประสบการณ์เกี่ยวกับโครงแบบและตัวแบบของระบบให้น้อยที่สุด ทำให้สามารถใช้ระบบเชอร์โวเชิงภาพได้ในสภาพแวดล้อมนอกโรงงานอุตสาหกรรมที่ไม่มีข้อมูลโครงแบบและตัวแบบของระบบที่ถูกต้อง

ผลงานที่ตีพิมพ์จากงานวิจัย

วิทยานิพนธ์ฉบับนี้ได้รับการตีพิมพ์และนำเสนอในงานประชุมวิชาการ 4th Asian Conference on Industrial Automation and Robotics (ACIAR'05) ณ กรุงเทพมหานคร ประเทศไทย ในวันที่ 11-13 พฤษภาคม พ.ศ. 2548 ในบทความเรื่อง Online Estimation of Image Jacobian by Taylor Polynomial using Evolutionary Strategy for Visual Servo Systems โดย Pariwat Keosatit และ Prabhas Chongstitvatana

บทที่ 2

กลยุทธ์เชิงวิวัฒนาการ

บทนี้จะกล่าวถึงแนวคิดของวิวัฒนาการและวิธีที่จะประยุกต์ในมุมมองของวิทยาการคอมพิวเตอร์ เราจะศึกษาวิวัฒนาการ วิธีการทำงานของวิวัฒนาการ และสิ่งที่เราได้เรียนรู้จากวิวัฒนาการ เพื่อที่จะได้เข้าใจกลไกเบื้องหลังของกลยุทธ์เชิงวิวัฒนาการ

วิวัฒนาการ (Evolution)

จากหนังสือ "Origin of the Species" ของ Charles Darwin [21] Darwin ได้เสนอแนวความคิดของวิวัฒนาการว่า เป็นวิธีที่สิ่งมีชีวิตสามารถที่จะมีชีวิตอยู่บนโลกนี้ได้ แนวความคิดนี้ค่อนข้างเรียบง่าย Darwin เสนอว่า สิ่งมีชีวิตทุกๆ ชีวิตบนโลกมีบรรพบุรุษอยู่เพียงหนึ่งเดียว บรรพบุรุษนั้น เมื่อเกลื่อนที่ไปในโลก ได้ทำให้สิ่งแวดล้อมของโลกนั้นเปลี่ยนแปลง และได้ปรับตัวและเปลี่ยนแปลงไปตามสิ่งแวดล้อมเหล่านั้น เพื่อพยายามที่จะมีชีวิตรอด ดังนั้นสิ่งมีชีวิตเมื่อเกลื่อนที่ไปทางหนึ่งมีอาการหน้าเห็นจะทำให้เกิดขนชี้งเป็นส่วนหนึ่งของกลไกการปรับตัว เพื่อให้มีชีวิตรอด ความเปลี่ยนแปลงเหล่านั้นทำให้บรรพบุรุษนั้นเปลี่ยนไปเป็นสปีชีส์ (species) ต่างๆ แตกต่างกัน ความเปลี่ยนแปลงที่สำคัญทำให้รูปแบบสิ่งมีชีวิตเปลี่ยนโดยคลับพลับไปเป็นสปีชีส์ที่ค่อนข้างแตกต่างกัน (เช่น สัตว์เลื้อยคลานพัฒนาจนสามารถบินได้ และเปลี่ยนไปเป็นสิ่งมีชีวิตอย่างนก) Darwin ยังได้เสนอแนวความคิดของการเลือกโดยธรรมชาติซึ่งกล่าวว่า สิ่งมีชีวิตที่ปรับตัวเข้ากับสิ่งแวดล้อมได้ดีที่สุดจะมีชีวิตรอด ดังนั้นสิ่งมีชีวิตเหล่านี้จะถูกเลือกโดยธรรมชาติ เพื่อที่จะแพร่พันธุ์และอยู่รอดต่อไป กลไกทางชีวิทยาที่เป็นตัวกำหนดลักษณะของสิ่งมีชีวิตคือพันธุกรรม (genetic) ยีน (gene) เป็นพิมพ์เบื้องพื้นฐานที่จะกำหนดลักษณะของสิ่งมีชีวิต ความแตกต่างกันของยีนระหว่างสิ่งมีชีวิตในสปีชีส์เดียวกันจะเป็นตัวกำหนดความซับซ้อนและความหลากหลาย (เช่น สีตาของมนุษย์) ความเปลี่ยนแปลงในยีนของสิ่งมีชีวิตอาจจะทำให้สิ่งมีชีวิตนั้นปรับตัวเข้ากับสิ่งแวดล้อมของมันได้ดีขึ้น ลักษณะอีกประการหนึ่งของวิวัฒนาการคือแนวคิดของการมีชีวิตรอดและความสมดุลของ Darwin (Darwinian fitness) การมีชีวิตรอดได้รับการนิยามว่า เป็นความสามารถของสิ่งมีชีวิตใดๆ ที่จะถ่ายทอดยีนของมันไปยังรุ่นต่อไป ดังนั้นความสามารถของ Darwin ก็คือความสามารถของสิ่งมีชีวิตใดๆ ที่จะมีชีวิตรอด และถ่ายทอดยีนของมัน ในการปริมาณความสามารถของความเหมาะสมของ Darwin ว่า เป็นการวัดว่า ยีนใดถูกถ่ายทอดไปยังรุ่นต่อไป สังเกตว่า สิ่งมีชีวิตโดยส่วนใหญ่มีความสามารถเหมาะสมสูง เมื่อสิ่งมีชีวิตนั้นถ่ายทอดยีนของมันไปยังรุ่นต่อไป สิ่งมีชีวิตนี้อาจจะไม่ใช่สิ่งมีชีวิตที่ดีที่สุดของประชากรที่เรารักว่า สามารถที่จะมีชีวิตรอดได้ ในขณะที่ประชากรเปลี่ยนถ่ายไปยังรุ่นต่อไป ความเปลี่ยนแปลงใดๆ ในประชากรที่ช่วยให้มันมีชีวิตรอดในสิ่งแวดล้อมของมันสามารถตีความว่า เป็นความเปลี่ยนแปลงเด็กน้อยที่วิวัฒนาการสิ่งมีชีวิตจากรูปแบบหนึ่งไปเป็นอีกรูปแบบหนึ่ง วิวัฒนาการเป็นกระบวนการที่ค่อนข้างช้าในทางชีวิทยา โดยจะต้องใช้เวลาสักระยะเวลาหนึ่ง เพื่อให้สิ่งมีชีวิตเปลี่ยนแปลงไปจากเดิมมากๆ เนื่องจากความเปลี่ยนแปลงในยีนเกิดขึ้นไม่บ่อยนักผ่านทางกลไก เช่น การกลายพันธุ์ นอกจากนี้รูปแบบของ

สิ่งแวดล้อมจะค่อนข้างคงที่ ทำให้สิ่งมีชีวิตอาจจะไม่มีความก่อต้นที่จะผลักดันให้เกิดความเปลี่ยนแปลงได้ ด้วยแนวคิดนี้เราสามารถปรับรับเอกสารบวนการวิวัฒนาการไปแก้ปัญหาที่ยากจะแก้ไขได้

กำเนิดกลยุทธ์เชิงวิวัฒนาการ (Evolutionary Strategy)

ข้อนอกลับไปในปี 1964 Rechenberg [22] และ Schwefel [23] ตั้งใจที่จะสร้างหัวน้ำดจีท (jet nozzle) ที่สมบูรณ์แบบ หัวน้ำดจีทที่สมบูรณ์แบบควรจะสามารถใช้ชี้อเพลิงได้อ่าย่างเต็มประสิทธิภาพ เพื่อที่จะสร้างกำลังขับให้มากที่สุด นี้เป็นปัญหาสำหรับวิศวกรที่ใช้แบบจำลองทางคณิตศาสตร์ของพลศาสตร์ของไอลในการพยากรณ์แก้ปัญหามาเป็นเวลานาน Rechenberg และ Schwefel ระบุว่า อาจจะง่ายกว่า ถ้าเริ่มกับหัวน้ำดจีทที่ใช้ในเชิงพาณิชย์อยู่แล้ว และวิวัฒนาการหัวน้ำดจีทเหล่านั้น พวกราบนำเอาหัวน้ำดจีทมาจำนวนหนึ่ง และแยกออกเป็นส่วนประกอบต่าง ๆ พวกราบนำจำนวนหนึ่งมาจำนวนหนึ่ง เพื่อพยากรณ์วิวัฒนาการให้ได้หัวน้ำดจีทที่สมบูรณ์แบบ พวกราบเริ่มจากหัวน้ำดจีทเริ่มต้นที่ทำการประกอบกันของส่วนประกอบต่าง ๆ จากหัวน้ำดจีทต่าง ๆ หลังจากนั้นจึงวัดประสิทธิภาพของหัวน้ำดจีทที่ประกอบขึ้นมาใหม่เหล่านี้ แต่ละหัวน้ำดจีทจะถูกกำหนดค่าประสิทธิภาพตัวละค่า จากค่าเหล่านี้พวกราบเริ่มเปลี่ยนแปลงหัวน้ำดจีทที่ดีที่สุดจำนวนหนึ่ง โดยใช้ตัวดำเนินการทางพันธุกรรม (genetic operator) จำนวนหนึ่ง ตัวดำเนินการทางพันธุกรรมเหล่านี้นำมาจากชีววิทยาซึ่งประกอบด้วยตัวดำเนินการมิวเตชัน (mutation) ตัวดำเนินการมิวเตชันเป็นการเปลี่ยนแปลงพีบีเอกโน๊อกในสิ่งที่ประกอบกันขึ้นทั้งหมดของหัวน้ำดจีท หลังจากมิวเตชันแล้วพวกราบได้ทำการทดสอบหัวน้ำดจีทใหม่ หลังจากทดลองแบบนี้ข้าฯ อยู่หลายครั้ง พวกราบประสบความสำเร็จในการสร้างหัวน้ำดจีทใหม่ที่ดีกว่าหัวน้ำดจีทเดิม ที่มีอยู่ในห้องทดลอง จนเห็นว่า การทดลองของพวกราบไม่ได้ใช้คณิตศาสตร์ใด ๆ เกี่ยวกับพลศาสตร์ของไอล พวกราบเพียงแค่นำหัวน้ำดจีทมาจำนวนหนึ่ง แล้ววิวัฒนาการหัวน้ำดจีทเหล่านั้น ซึ่งทำให้ได้คำตอบของปัญหาที่ดีกว่า วิธีการแบบนี้เหมือนกับทฤษฎีวิวัฒนาการที่ Darwin เสนอไว้

การประยุกต์กลยุทธ์เชิงวิวัฒนาการกับปัญหาทางคอมพิวเตอร์

ในส่วนนี้เราจะกล่าวถึงวิธีการประยุกต์การวิวัฒนาการกับปัญหาในศาสตร์ของคอมพิวเตอร์ ในกลยุทธ์เชิงวิวัฒนาการเราหาคำตอบซึ่งอาจจะใช้วิธีแทรกต่างๆ กัน ตัวอย่างเมื่อได้ปัญหาแล้ว จะแก้ปัญหาโดยปกติไปทีละขั้นเป็นๆ ไปหาคำตอบ ๆ หนึ่ง อย่างไรก็ตามในหลักการนี้คำตอบที่ได้ขึ้นยังไม่เป็นที่พอใจ เพราะในขณะที่มันเป็นคำตอบ ๆ หนึ่งของปัญหา แต่มันอาจจะไม่ใช่คำตอบที่ดีที่สุด วิธีการหนึ่งในการแก้ปัญหาแบบนี้คือการจัดการกับชุดของคำตอบชุดหนึ่ง วิวัฒนาการคำตอบเหล่านี้ดีขึ้นๆ ให้โดยใช้เกณฑ์การประเมินค่าความเหมาะสมของคำตอบ เช่นต่อไปจะเป็นการกำหนดค่าที่จะใช้ตัวดำเนินการทางพันธุกรรมตัวใด มิวเตชันเป็นตัวที่ใช้กันมากที่สุด เพราะทำให้เกิดการผันแปรและการเปลี่ยนแปลงในคำตอบ เราจะไม่รู้ว่าการเปลี่ยนแปลงหนึ่งใดของหนึ่งในคำตอบปัจจุบันจะนำไปสู่คำตอบที่ดีขึ้นหรือไม่ อย่างไรก็ตามสำหรับประชากรเราสามารถใช้เกณฑ์ความเหมาะสมคัดสินว่า คำตอบที่ดีที่สุดในประชากรของเราคืออะไร เราสามารถใช้ตัวดำเนินการทางพันธุกรรม

กับคำตอบ และสร้างคำตอบใหม่ โดยหวังว่า จะดีกว่ากอลุ่มพ่อแม่ ระหว่างที่เราผ่านกระบวนการเหล่านี้ เราหวังที่จะให้คำตอบของเราดีขึ้นเรื่อยๆ ด้วยวิธีนี้เราวิัฒนาการคำตอบแทนที่จะแก้ปัญหาเพื่อที่จะหาคำตอบแบบตรงๆ

ในขณะที่กลยุทธ์เชิงวิัฒนาการมีข้อดี ก็มีข้อเสียเหมือนกันทุกๆ ขั้นตอนวิธี (algorithm) ความซับซ้อนของประการที่อาจเกิดขึ้น ได้แก่

- ชุดคำตอบเริ่มต้น เราจะหาชุดคำตอบเริ่มต้นที่เหมาะสมได้อย่างไร
- ตัวดำเนินการ จะใช้ตัวไหน การใช้ตัวดำเนินการประกอบกันแบบหนึ่งอาจทำให้ได้คำตอบที่ต้องการการประกอบกันแบบอื่นอาจใช้ไม่ได้ ซึ่งค่อนข้างจะเป็นกิจลักษณะในการหาชุดของตัวดำเนินการที่ใช้
- พึงซั่นความเหมาะสม เราจะประเมินความเหมาะสมของคำตอบอย่างไร
- จะหยุดเมื่อไร จะวิัฒนาการไปเป็นจำนวนกี่รุ่น ถ้าผ่านไป 20 รุ่นแล้วคำตอบไม่ดีขึ้นจะทำอย่างไร จะทำต่อเพื่อหวังว่าจะได้คำตอบที่ดีขึ้นหรือไม่ วิัฒนาการเป็นเรื่องละเอียดอ่อนเหมือนทางชีวิต เราอาจจะไม่เห็นความเปลี่ยนแปลงที่ชัดเจนจากรุ่นหนึ่งไปยังอีกรุ่นหนึ่งจนกว่าจะผ่านไปแล้วหลายๆ รุ่น

ดังนั้นกลยุทธ์เชิงวิัฒนาการเป็นหลักการที่น่าสนใจ แต่ยังคงมีข้อจำกัด กลยุทธ์เชิงวิัฒนาการเหมาะสมกับปัญหาที่รู้ว่าไม่สามารถหาคำตอบที่ดีที่สุดได้ แต่ต้องการคำตอบที่ดี

กลยุทธ์เชิงวิัฒนาการประเภทต่างๆ

กลยุทธ์เชิงวิัฒนาการ ได้รับการพัฒนาสำหรับการทำให้เหมาะสมที่สุด Rechenberg [22] และ Schwefel [23] ได้สร้างกลยุทธ์เชิงวิัฒนาการแบบแรกขึ้นในปี 1964 ที่ Technical University of Berlin (TUB) แนวคิดคือการเลียนแบบหลักการการวิัฒนาการของสั่งมีชีวิต Rechenberg [24] กล่าวไว้ว่า “วิธีวิัฒนาการของสั่งมีชีวิตแสดงถึงกลยุทธ์ที่ดีที่สุดสำหรับการปรับตัวของสั่งมีชีวิตให้เข้ากับสิ่งแวดล้อม...(และ)...ดังนั้นจึงคุ้มค่าที่จะนำเอาหลักการของการวิัฒนาการทางชีวิตมาใช้สำหรับการทำให้เหมาะสมที่สุดของระบบทางเทคนิค”

ขั้นตอนวิธีแรกที่ลูกใช้ ได้แก่ กลยุทธ์เชิงวิัฒนาการที่มีสมาชิก 2 ตัวหรือ $(1+1)-ES$ ในวิธีการนี้ ลูก 1 ตัว จะถูกสร้างจากผู้ให้คำนิค จากนั้นสมรรถนะของลูกจะถูกเปรียบเทียบกับผู้ให้คำนิคของตัวเอง และตัวที่เหมาะสมที่สุดใน 2 ตัวนี้จะรอดชีวิตไปยังรุ่นถัดไป

ต่อมา $(1+1)-ES$ ได้ถูกปรับปรุง โดยใช้แนวคิดของประชากร Rechenberg [25] “ได้เสนอกลยุทธ์เชิงวิัฒนาการที่มีสมาชิกหลายตัวที่ผู้ให้คำนิคจำนวน $\mu > 1$ ตัว มีส่วนร่วมในการสร้างลูก 1 ตัว กลยุทธ์นี้ลูกเรียกว่า $(\mu+1)-ES$ สำหรับวิธีนี้ผู้ให้คำนิคทั้งหมดจะมีความน่าจะเป็นในการผสมพันธุ์เท่ากัน และ เช่นเดียวกันกับ $(1+1)-ES$ สมาชิกที่เหมาะสมน้อยที่สุดของประชากรทั้งหมดจะถูกกำจัดออกไปในแต่ละรุ่น

$(\mu+1) - ES$ ไม่ได้เป็นกลยุทธ์ที่แพร่หลายนัก แต่ก็ได้นำไปสู่การพัฒนากลยุทธ์อื่น ๆ ในเวลาต่อมา Schwefel [23] ได้พัฒนา $(\mu + \lambda) - ES$ ซึ่งเป็นกลยุทธ์เชิงวิวัฒนาการที่ผู้ให้กำเนิด μ ตัว สร้างลูก λ ตัว ($\mu > \lambda$) ที่จะมาแบ่งกับผู้ให้กำเนิด เพื่อที่จะเลือกผู้ให้กำเนิดที่เหมาะสมที่สุดสำหรับรุ่นต่อไป แต่เนื่องจาก $(\mu + \lambda) - ES$ มีปัญหาเกี่ยวกับค่าหมายที่สุดเฉพาะแห่ง (local optimum) จึงได้เกิด $(\mu, \lambda) - ES$ ซึ่งแต่ละตัวจะมีช่วงชีวิตเพียงรุ่นเดียวเท่านั้น

นิยามสัญลักษณ์และสมมุติฐาน

ในบทนี้ เราสมมุติปัญหาการหาค่าดีที่สุดของพารามิเตอร์แบบต่อเนื่อง n มิติ (n-dimentional, continuous parameter optimization problem) ในรูปแบบ

$$f^* = f(\vec{x}^*) = \min \{f(\vec{x}) \mid \vec{x} \in M \subseteq R^n\} \quad (5)$$

เมื่อ $M = \{\vec{x} \in R^n \mid g_i \geq 0 \forall i \in \{1, \dots, q\}\}$ เป็นเซตของจุดที่เป็นไปได้ (feasible points) และ $g_i : R^n \rightarrow R$ เป็นเงื่อนไขอสมการบังคับ (inequality constraints) $\vec{a} \in I$ เป็นสมาชิกของปริภูมิ (individual space) $I = R^n \times S$, เมื่อ S ของพารามิเตอร์กลยุทธ์ (strategy parameter) ขึ้นอยู่กับชนิดของกลยุทธ์ เชิงวิวัฒนาการ $P^{(t)} = \{\vec{a}, \dots, \vec{a}_k\} \in I^k$ เป็นประชากร $k \in \{\mu, \lambda\}$ ตัว ณ รุ่นที่ t , เมื่อตัวประชากรเป็นมัลติเซต (multiset) ของสมาชิกจาก I (การซ้ำกันอาจเกิดขึ้นได้ในกลุ่มประชากร) $\mu, \lambda \in N$ แสดงจำนวนของพ่อแม่และของลูกตามลำดับ ตัวดำเนินการทางพัฒนาระบบแสดงโดยการส่ง (mappings)

$$\begin{aligned} \text{rec} &: I^\mu \rightarrow I && \text{รีคอมบินेशัน (recombination)} \\ \text{mut} &: I \rightarrow I && \text{มิวเตชัน (mutation)} \\ \text{sel}_\mu^k &: I^k \rightarrow I^\mu && \text{ซีเลกชัน (selection), } k \in \{\lambda, \mu + \lambda\} \end{aligned}$$

ซึ่งขึ้นกับพารามิเตอร์เฉพาะของตัวดำเนินการด้วย เช่น ตัวแปรความยาวขั้น (step length variabilities) $\tau, \tau_0, \beta \in R_+$ สำหรับชนิดมิวเตชันและรีคอมบินेशัน $\omega \in \{0, 1, 2, 3\}$

การทำงานหนึ่งรอบของกลยุทธ์เชิงวิวัฒนาการ ได้แก่ ขั้นตอนจากประชากร $P^{(t)}$ ไปยังประชากรรุ่นถัดไป $P^{(t+1)}$ สามารถแสดงโดยการส่ง

$$opt_{ES} : I^\mu \rightarrow I^\mu \quad (6)$$

ดังสมการ

$$opt_{ES}(P^{(t)}) = \text{sel}_\mu^k \left(\bigcup_{i=1}^{\lambda} \{\text{mut}(\text{rec}(P^{(t)}))\} \cup Q \right) \quad (7)$$

โดย $Q \in \{P^{(t)}, \phi\}$ ขึ้นอยู่กับตัวดำเนินการซีเลกชัน $((\mu, \lambda) - \text{selection} : Q = \phi, k = \lambda ; (\mu + \lambda) - \text{selection} : Q = P^{(t)}, k = \mu + \lambda)$, \cup คือตัวดำเนินการยูเนียน (union operator) บนมัลติเซต และ $\mu = I$ หมายความว่าไม่มีรีคอมบินेशัน หรือ $rec = id$

สัญลักษณ์ $z \sim N(\xi, \sigma^2)$ แสดงตัวแปรสุ่มแบบแจกแจงปกติ (normally distributed random variable) ที่มีค่าคาดหมาย (expectation) ξ และความแปรปรวน (variance) σ^2 ส่วน $u \sim U(\cdot)$ คือตัวแปรสุ่มแบบแจกแจงเอกรูป (uniformly distributed random variable)

กลยุทธ์เชิงวิวัฒนาการแบบ $(1+1)$

ดังที่ได้กล่าวมาแล้ว $(1+1) - ES$ มีลักษณะคือ $\mu = \lambda = 1$, ไม่มีรีคอมบินेशัน, และมีกฎสำหรับการปรับเปลี่ยนขนาดของก้าว (step size) สำหรับทุกมิวเตชัน $\vec{a} = (\vec{x}, \sigma) \in R^n \times R_+$ ประกอบด้วยเวคเตอร์ตัวแปรเป้าหมาย (object variable vector) \vec{x} และส่วนเบี่ยงเบนมาตรฐาน (standard deviation) σ ตัวดำเนินการมิวเตชันประกอบด้วยการปรับเปลี่ยน mu_σ ของ σ และมิวเตชัน mu_x ของ \vec{x} :

$$mut = mu_x \circ mu_\sigma \quad (8)$$

โดยที่

$$\tilde{\sigma} := mu_\sigma(\sigma) = \begin{cases} \sigma / \sqrt[n]{c} & , p > 1/5 \\ \sigma \cdot \sqrt[n]{c} & , p < 1/5 \\ \sigma & , p = 1/5 \end{cases} \quad (9)$$

นิยามนี้แสดงถึงกฎความสำเร็จ $1/5$ ($1/5$ -success rule) ของ Rechenberg โดยปรับปรุงค่าส่วนเบี่ยงเบนมาตรฐาน σ ทุกๆ รุ่นบนพื้นฐานของความถี่สัมพัทธ์ที่วัดได้ (measured relative frequency) p ของมิวเตชันที่ประสบความสำเร็จ ในทางทฤษฎีค่า $c=0.817$ หมายได้โดย Schwefel สำหรับแบบจำลองทรงกลม [26]

มิวเตชันของตัวแปรเป้าหมายจะทำโดยการบวกการแปรผันแบบแยกแจงปகติ (normally distributed variation) ที่มีส่วนเบี่ยงเบนมาตรฐาน $\tilde{\sigma}$ กับองค์ประกอบของ \vec{x} :

$$\vec{x} := mu_x(\vec{x}) = (x_1 + z_1, \dots, x_n + z_n) \quad (10)$$

เมื่อ $z_i \sim N_i(0, \sigma^2)$ ดังนั้นจากสมการที่ 8 จะได้

$$\begin{aligned} mut((\vec{x}, \sigma)) &= mu_x(mu_\sigma(\vec{x}, \sigma)) = mu_x(\vec{x}, mu_\sigma(\sigma)) \\ &= mu_x(\vec{x}, \tilde{\sigma}) = (mu_x(\vec{x}), \tilde{\sigma}) = (\tilde{\vec{x}}, \tilde{\sigma}) \end{aligned} \quad (11)$$

ลูกแต่ละตัว $\tilde{\vec{a}} = (\tilde{\vec{x}}, \tilde{\sigma})$ และพ่อแม่ $\vec{a} = (\vec{x}, \sigma)$ จะผ่านตัวดำเนินการซีเลคชัน $sel_1^2 : I^2 \rightarrow I$ ซึ่งจะให้ตัวที่รอดชีวิตตามการเบรี่ยนเพียงค่าฟังก์ชันเบ้าหมายของ \vec{a} กับ $\tilde{\vec{a}}$:

$$sel_1^2(\{\vec{a}, \tilde{\vec{a}}\}) = \begin{cases} \{\tilde{\vec{a}}\} & , f(\tilde{\vec{x}}) \leq f(\vec{x}) \\ \{\vec{a}\} & , otherwise \end{cases} \quad (12)$$

ด้วยการส่งแบบนี้ว่างหลักของ $(1+1) - ES$ จะเป็น

$$opt_{(1+1)-ES}(\{\vec{a}\}) = sel_1^2(\{mut(\vec{a})\} \cup \{\vec{a}\}) \quad (13)$$

และรหัสที่ขึ้นตอนวิธีนี้แสดงดังต่อไปนี้

ALGORITHM 1 $(1+1) - ES$

```
t := 0;
initialize P(t) = {(\vec{x}, σ)};
evaluate f(̄x);
```

```

while ( $T(P^{(t)}) = 0$ ) do           {  $T$  denotes a termination criterion }
     $(\tilde{x}, \tilde{\sigma}) = \text{mut}((\vec{x}, \sigma));$ 
    evaluate  $f(\tilde{x});$           { determine objective function value }
    if ( $f(\tilde{x}) \leq f(\vec{x})$ )      { select }
        then  $P^{(t+1)} := \{(\tilde{x}, \tilde{\sigma})\}$ 
    else  $P^{(t+1)} := P^{(t)};$ 
     $t := t + 1;$ 
od

```

กลยุทธ์เชิงวิถีวนการแบบ $(\mu + 1)$

นอกจาก $(1+1)-ES$ Rechenberg ได้เสนอกลยุทธ์เชิงวิถีวนการแบบที่มีสมาชิกหลายตัวแบบแรก ด้วย ได้แก่ $(\mu + 1)-ES$ ซึ่งมี $\mu > 1$

ก่อนการมิวเตชันตัวดำเนินการรีคอมบินेशัน $\text{rec}: I^\mu \rightarrow I$ จะถูกใช้เพื่อที่จะสร้างประชากร 1 ตัว จากประชากรพ่อแม่ จากนั้นประชากรที่ได้รับจะถูกนำไปมิวเตชันและผลลัพธ์ที่ได้รับจะนำไปแทนที่ตัวที่แย่ที่สุดของประชากรพ่อแม่ถ้าหากไม่ด้อยกว่าพ่อแม่ตัวที่แย่ที่สุด (กำจัดตัวที่แย่ที่สุด) หรืออาจยกเว้นว่า ตัวที่ดีที่สุด μ ตัว จากพ่อแม่ μ ตัวและถูกอีกหนึ่งตัวจะถูกเลือกเป็นประชากรพ่อแม่รุ่นถัดไป

ตัวดำเนินการรีคอมบินेशันทำงานด้วยการเลือกเวคเตอร์พ่อแม่ ζ ($1 \leq \zeta \leq \mu$) ตัว จาก $P^{(t)} \in I^\mu$ ด้วยความน่าจะเป็นเอกรูป (uniform probability) และสมกันระหว่างพ่อแม่ ζ ตัว เพื่อที่จะสร้างเวคเตอร์ถูกหนึ่งตัว:

$$\text{rec} = \text{re} \circ \text{co} \quad (14)$$

เมื่อ $\text{co}: I^\mu \rightarrow I^\zeta$ เลือกเวคเตอร์พ่อแม่ ζ และ $\text{re}: I^\zeta \rightarrow I$ สร้างเวคเตอร์ถูกหนึ่งตัว กรณี $\zeta = 2$ หรือรีคอมบินेशันแบบสองเพศ (bisexual recombination) และ $\zeta = \mu$ หรือรีคอมบินेशันแบบครอบคลุม (global recombination) มักจะถูกใช้

ชนิดของรีคอมบินेशันที่ใช้อาจจะแตกต่างกันสำหรับส่วนต่าง ๆ ของ $\vec{a} = (\vec{x}, \vec{\sigma}, \vec{\alpha})$ ของ $(\mu + \lambda)-ES$ (ความหมายขององค์ประกอบ $\vec{\sigma}$ และ $\vec{\alpha}$ คือจากหัวข้อถัดไป) ดังนั้นเราอนุญาตชนิดของรีคอมบินेशันด้วยการอ้างถึงเวคเตอร์ \vec{b} และ \vec{b}' โดยที่ \vec{b}' แสดงส่วนของเวคเตอร์ถูกที่จะถูกสร้าง และ $b_{k,i}$ แสดงองค์ประกอบที่ i ของเลข $k \in \{1, \dots, \zeta\}$ ที่ถูกเลือกไว้ก่อนจากเซตที่ถูกเลือกด้วย co วิธี $(\mu + 1)-ES$ ดังเดิมใช้รีคอมบินेशันกับเวคเตอร์ตัวแปรเป้าหมาย \vec{x} เท่านั้น

ชนิดของรีคอมบินेशันที่ใช้กันทั่วไป ได้แก่

- $\omega = 0$: ไม่มีรีคอมบินेशัน (กรณี $\mu = 1$ จะใช้วิธีนี้) ในกรณีนี้จะเพียงแค่ทำการเลือกสุ่มประชากร เพียงตัวเดียว $co: I^\mu \rightarrow I$ และ $re: I \rightarrow I$ เป็นเพียงการส่งเอกสารลักษณ์ (identity mapping)
- $\omega = 1$: รีคอมบินेशันกลางแบบครอบคลุม (global intermediary recombination) โดยองค์ประกอบเวกเตอร์ที่ i ของพ่อแม่ทุกตัวจะถูกเฉลี่ยเพื่อที่จะหาค่าองค์ประกอบของลูกที่คำนวนนี้:

$$b'_i = \frac{1}{\varsigma} \sum_{k=1}^{\varsigma} b_{k,i} \quad (15)$$

- $\omega = 2$: รีคอมบินेशันกลางแบบห้องล้วน (local intermediary recombination) เป็นการเลือกมา 2 ตัว จากพ่อแม่ ς ตัว สำหรับแต่ละองค์ประกอบของเวกเตอร์ และคำนวณผลรวมถ่วงน้ำหนัก (weighted sum) ขององค์ประกอบนั้น ๆ ของพ่อแม่ 2 ตัว นั้น:

$$b'_i = u_i b_{k_1,i} + (1-u_i) b_{k_2,i} \quad (16)$$

เมื่อ $u_i \sim U([0,1])$ หรือ $u_i = 1/2$, และ $k_1, k_2 \sim U(\{1, \dots, \varsigma\})$ สำหรับลูกแต่ละตัว

- $\omega = 3$: รีคอมบินेशันกลางแบบไม่ต่อเนื่อง (discrete recombination) เป็นวิธีที่องค์ประกอบเวกเตอร์แต่ละตัวถูกคัดลอกจากองค์ประกอบนั้นของพ่อแม่ที่ถูกสุ่มเลือกจากพ่อแม่ ς ตัว:

$$b'_i = b_{k_i,i} \quad (17)$$

เมื่อ $k_i \sim U(\{1, \dots, \varsigma\})$ โดยสุ่มสำหรับแต่ละ i

จากสมการที่ 7 วงหลักของ $(\mu+1)-ES$ สามารถเขียนได้ดังนี้

$$opt_{(\mu+1)-ES}(P^{(t)}) = sel_\mu^{\mu+1}(\{mut(rec(P^{(t)}))\} \cup P^{(t)}) \quad (18)$$

ตัวดำเนินการซีเลคชันจะให้เขตของตัวที่คือสุด μ ตัว ของอาร์กิวเมนต์ (argument) ของมัน หรือ $sel_\mu^k(P) = \tilde{P}$ เมื่อ $|\tilde{P}| = \mu, |P| = k \geq \mu$, และ

$$\forall \tilde{a} \in \tilde{P} : \exists a \in P - \tilde{P} : f(\vec{x}) \leq f(\tilde{\vec{x}}) \quad (19)$$

ขั้นตอนวิธีที่ 2 แสดงรหัสเทียมของ $(\mu+1)-ES$

ALGORITHM 2 $(\mu+1)-ES$

```

 $t := 0;$ 
initialize  $P^{(0)} = \{\vec{x}_1, \dots, \vec{x}_\mu\} \in I^\mu$ ;
evaluate  $f(\vec{x}_1), \dots, f(\vec{x}_\mu)$ ;
while ( $T(P^{(t)}) = 0$ ) do
     $\tilde{\vec{x}} = mut(rec(P^{(t)}))$ ;
    evaluate  $f(\tilde{\vec{x}})$ ;
     $P^{(t+1)} := sel_\mu^{\mu+1}(\{\tilde{\vec{x}}\} \cup P^{(t)})$ ;
     $t := t + 1$ ;
od

```

กลยุทธ์เชิงวิวัฒนาการแบบ (μ, λ) และ $(\mu + \lambda)$

ประชากรแต่ละตัวใน $(\mu, \lambda) - ES$ จะมาพร้อมกับเซตของพารามิเตอร์ที่แสดงการแจกแจงปกติ (normal distribution) n มิติ สำหรับมิติเดชันประชากรแต่ละตัว:

$$I = R^n \times R_+^{n_\sigma} \times [-\pi, \pi]^{n_\alpha} \quad (20)$$

กล่าวคือ $S = R^{n_\sigma} \times [-\pi, \pi]^{n_\alpha}$

ประชากรใดๆ $\vec{a} = (\vec{x}, \bar{\sigma}, \vec{\alpha}) \in I$ ประกอบด้วยส่วนต่างๆ ดังนี้

- $\vec{x} \in R^n$: เวคเตอร์ของตัวแปรเป้าหมาย ส่วนนี้เป็นเพียงส่วนเดียวของ \vec{a} ที่เข้าสู่ฟังก์ชันเป้าหมาย (objective function)
- $\bar{\sigma} \in R_+^{n_\sigma}$: เวคเตอร์ของส่วนเบี่ยงเบนมาตรฐาน ($1 \leq n_\sigma \leq n$) ของแจกแจงปกติ
- $\vec{\alpha} \in [-\pi, \pi]^{n_\alpha}$: เวคเตอร์ของมุมเอียง (inclination angles) ($n_\alpha = (n - n_\sigma)/2 \cdot (n_\sigma - 1)$) ซึ่งกำหนดมิติเดชันแบบเทียบสัมพันธ์เชิงเส้น (linearly correlated mutations) ของตัวแปรเป้าหมาย \vec{x}

พารามิเตอร์ $\bar{\sigma}$ และ $\vec{\alpha}$ เป็นตัวกำหนดความแปรปรวนและความแปรปรวนร่วมเกี่ยว (covariance) ของการแจกแจงปกติ n มิติ

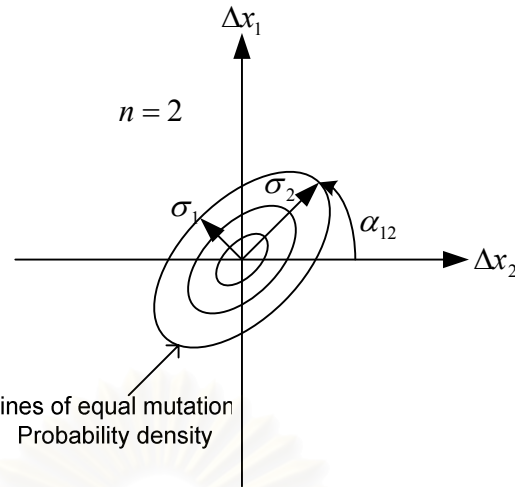
ปริมาณของพารามิเตอร์ที่ติดกับประชากรสามารถเปลี่ยนแปลงได้โดยผู้ใช้ขึ้นอยู่กับองค์กรี (degree of freedom) ที่ฟังก์ชันเป้าหมายต้องการ ค่าที่ใช้กันทั่วไป ได้แก่

- $n_\sigma = 1, n_\alpha = 0$: มิติเดชันมาตรฐานที่มีส่วนเบี่ยงเบนมาตรฐานหนึ่งค่าที่ควบคุมมิติเดชันของทุกองค์ประกอบของ \vec{x}
- $n_\sigma = n, n_\alpha = 0$: มิติเดชันมาตรฐานที่มีขนาดก้าว (step sizes) ของประชากรแต่ละตัว $\sigma_1, \dots, \sigma_n$ ที่ควบคุมมิติเดชันของตัวแปรเป้าหมายนั้นๆ x_i โดยแยกจากกัน
- $n_\sigma = n, n_\alpha = n \cdot (n-1)/2$: มิติเดชันแบบเทียบสัมพันธ์ที่มีเมทริกซ์ความแปรปรวนร่วมเกี่ยว สำหรับแต่ละตัว
- $n_\sigma = 2, n_\alpha = n-1$: ไปในทิศทางใดทิศทางหนึ่งของปริภูมิของคำตอบด้วยความแปรปรวน σ_1^2 โดย σ_2^2 เป็นความแปรปรวนในทิศทางอื่น ๆ ทั้งหมดที่ตั้งฉากกับทิศทางแรก

แนวคิดพื้นฐานของมิติเดชันแบบเทียบสัมพันธ์สำหรับกรณี $n = 2, n_\sigma = 2, n_\alpha = 1$ แสดงในรูปที่ 3 ในรูปจะแสดงเส้นความหนาแน่นของความน่าจะเป็นของมิติเดชันที่เท่ากัน (equal mutation probability density) ของการแจกแจงปกติ 2 มิติ จะเห็นว่า ส่วนเบี่ยงเบนมาตรฐาน σ_1 และ σ_2 จะกำหนดความสัมพันธ์ของความขลางของแกนหลักของทรงรีไฮเพอร์ (hyperellipsoid) และ α_{12} แสดงมุมหมุน (rotation angle) ของทรงรีไฮเพอร์นั้น ในกรณีที่ σ_1 ไปของมิติเดชันแบบเทียบสัมพันธ์ ทรงรีไฮเพอร์อาจจะหงายตัวอย่างไรก็ได้ในปริภูมิ n มิติ

ตามโครงสร้างที่ σ_1 ไปของประชากรแต่ละตัวเราจะนิยามตัวดำเนินการมิติเดชัน $mut : I \rightarrow I$ ดังนี้

$$mut = mu_x \circ (mu_\sigma \times mu_\alpha) \quad (21)$$



รูปที่ 3 แสดงทรงรีมิวเตชันสำหรับกรณี $n = 2, n_\sigma = 2, n_\alpha = 1$

ตัวดำเนินการนี้จะถูกใช้หลังจากวิเคราะห์ความน่าจะเป็นของขั้นกับประชากรแต่ละตัว

$$\hat{\vec{a}} = (\hat{x}_1, \dots, \hat{x}_n, \hat{\vec{\sigma}}_1, \dots, \hat{\vec{\sigma}}_{n_\sigma}, \hat{\vec{\alpha}}_1, \dots, \hat{\vec{\alpha}}_{n_\alpha}) \quad (22)$$

และเริ่มด้วยมิวเตชันพารามิเตอร์ $\hat{\vec{\sigma}}$ และ $\hat{\vec{\alpha}}$ จากนั้นจึงปรับ \vec{x} ตามพารามิเตอร์ชุดใหม่ที่ได้จากการคำนวณ $\hat{\vec{\sigma}}$ และ $\hat{\vec{\alpha}}$:

- $\text{mu}_\sigma : R_+^{n_\sigma} \rightarrow R_+^{n_\sigma}$ มิวเตชัน $\hat{\vec{\sigma}}$:

$$\text{mu}_\sigma(\hat{\vec{\sigma}}) := (\hat{\sigma}_1 \exp(z_1 + z_0), \dots, \hat{\sigma}_{n_\sigma} \exp(z_{n_\sigma} + z_0)) =: \tilde{\vec{\sigma}} \quad (23)$$

เมื่อ $z_0 \sim N(0, \tau_0^2), z_i \sim N(0, \tau^2) \forall i \in \{1, \dots, n_\sigma\}$

- $\text{mu}_\alpha : R^{n_\alpha} \rightarrow R^{n_\alpha}$ มิวเตชัน $\hat{\vec{\alpha}}$:

$$\text{mu}_\alpha(\hat{\vec{\alpha}}) := (\hat{\alpha}_1 + z_1, \dots, \hat{\alpha}_{n_\alpha} + z_{n_\alpha}) =: \tilde{\vec{\alpha}} \quad (24)$$

เมื่อ $z_i \sim N(0, \beta^2) \forall i \in \{1, \dots, n_\alpha\}$

- $\text{mu}_x : R^{n_\alpha} \rightarrow R^{n_\alpha}$ มิวเตชัน \vec{x} โดยใช้ $\hat{\vec{\sigma}}$ และ $\hat{\vec{\alpha}}$ ที่มิวเตชันเรียบร้อยแล้ว:

$$\text{mu}_x(\vec{x}) := (\hat{x}_1 + \text{cor}_1(\tilde{\vec{\sigma}}, \tilde{\vec{\alpha}}), \dots, \hat{x}_n + \text{cor}_n(\tilde{\vec{\sigma}}, \tilde{\vec{\alpha}})) =: \tilde{\vec{x}} \quad (25)$$

เมื่อ $\text{cor} := (\text{cor}_1(\tilde{\vec{\sigma}}, \tilde{\vec{\alpha}}), \dots, \text{cor}_n(\tilde{\vec{\sigma}}, \tilde{\vec{\alpha}}))$ เป็นเวกเตอร์สุ่ม (random vector) ที่มีองค์ประกอบที่เพียงพอที่จะคำนวณค่าของ \vec{x} โดยที่ $\vec{z} = (z_1, \dots, z_n)$ เมื่อ $z_i \sim N(0, \tilde{\sigma}_i^2) \forall i \in \{1, \dots, n_\sigma\}$ และ

$$\mathbf{T} = \prod_{p=1}^{n_\sigma-1} \prod_{q=p+1}^{n_\sigma} \mathbf{T}_{pq}(\tilde{\alpha}_j)$$

โดย $j = \frac{1}{2}(2n_\sigma - p)(p+1) - 2n_\sigma + q$ [27] เมทริกซ์หมุน (rotation matrices) $\mathbf{T}_{pq}(\tilde{\alpha}_j)$ เป็นเมทริกซ์

หนึ่งหน่วย (unit matrices) ยกเว้น $t_{pp} = t_{qq} = \cos(\alpha_j)$ และ $t_{pq} = -t_{qp} = -\sin(\alpha_j)$

ถ้าใช้ตัวดำเนินการมิวเตชัน, วิเคราะห์ความน่าจะเป็นของขั้นกับเราจะได้วงหลักของ $(\mu, \lambda) - ES$ ดังนี้

$$opt_{(\mu,\lambda)-ES}(P^{(t)}) = sel_{\mu}^{\lambda}(\bigcup_{i=1}^{\lambda} \{mut(rec(P^{(t)}))\}) \quad (26)$$

ดังสมการที่ 19 ซึ่งเลือกชันจะให้เขตที่ประกอบด้วยประชากรที่ดีที่สุด μ ตัว ของเซตอาร์กิวเมนต์ที่มีขนาด λ

ในกรณีของ $(\mu + \lambda) - ES$ วงหลักจะเปลี่ยนแปลงเพียงเล็กน้อยโดยการพิจารณาประชากรพ่อแม่ ด้วยซึ่งจะทำให้เขตอาร์กิวเมนต์ของซึ่งเลือกชันมีขนาด $\mu + \lambda$:

$$opt_{(\mu+\lambda)-ES}(P^{(t)}) = sel_{\mu}^{\lambda}(\bigcup_{i=1}^{\lambda} \{mut(rec(P^{(t)}))\} \cup P^{(t)}) \quad (27)$$

ขั้นตอนวิธีที่ 3 $(\mu, \lambda) - ES$ ในรูปแบบของรหัสทិម :

ALGORITHM 3 $(\mu, \lambda) - ES$

```

 $t := 0;$ 
initialize  $P^{(0)} = \{\vec{a}_1, \dots, \vec{a}_{\mu}\} \in I^{\mu};$ 
evaluate  $f(\vec{x}_1), \dots, f(\vec{x}_{\mu});$ 
while ( $T(P^{(t)}) = 0$ ) do
     $\tilde{P} = \phi;$ 
    for  $i := 1$  to  $\lambda$  do
         $(\tilde{\vec{x}}, \tilde{\vec{\sigma}}, \tilde{\vec{\alpha}}) := mut(rec(P^{(t)}));$ 
        evaluate  $f(\tilde{\vec{x}});$ 
         $\tilde{P} := \tilde{P} \cup \{(\tilde{\vec{x}}, \tilde{\vec{\sigma}}, \tilde{\vec{\alpha}})\}$ 
    od
     $P^{(t+1)} := sel_{\mu}^{\lambda}(\tilde{P});$ 
     $t := t + 1;$ 
od

```

สรุปท้ายบท

กลยุทธ์เชิงวิถีนาการเป็นวิธีการหาคำตอบที่ประยุกต์มาจากหลักการวิถีนาการของธรรมชาติ เริ่มจาก การสร้างประชากรที่เป็นคำตอบเริ่มต้นขึ้นมา ใช้ตัวดำเนินการกับประชากร ประเมินและเลือกประชากรที่จะมี ชีวิตอยู่ในรุ่นต่อไป จนกว่าจะได้คำตอบตามเงื่อนไขที่กำหนดไว้ บทนี้ได้กล่าวถึงรายละเอียดและวิธีการต่าง ๆ ของกลยุทธ์เชิงวิถีนาการ ข้อมูลเพิ่มเติมเกี่ยวกับกลยุทธ์เชิงวิถีนาการสามารถหาได้จาก [28]

บทที่ 3

การประมาณด้วยพหุนามเทย์เลอร์

บางครั้ง เราพบกับฟังก์ชันทางคณิตศาสตร์ที่ซับซ้อนที่มีช่วงโดเมน (domain) กว้างในสถานการณ์ที่เราต้องการพหุนามง่าย ๆ แม้ว่าจะเป็นการประมาณที่ดีเฉพาะช่วงที่จำกัดเท่านั้น ตัวอย่าง เช่น แรงที่ขึ้นเห็นได้ชัดเจนที่ยวะตอนเข้าด้วยกันในโนมเลกุลที่มี 2 อะตอม เป็นฟังก์ชันของระบบทางระหัวงอะตอมซึ่งมีความซับซ้อนมากเกินไปฟังก์ชันหนึ่ง ถ้าเราพยายามที่จะใช้ฟังก์ชันนี้โดยตรง เรายังคงพบว่า เกือบจะเป็นไปไม่ได้เลยที่จะคำนวณการเคลื่อนที่เนื่องจากการสั่นของอะตอม แม้ว่าเราทำสำเร็จ เราจะได้ความเข้าใจเพิ่มขึ้นมาเพียงเล็กน้อยเท่านั้น อย่างไรก็ตามถ้าเราแทนที่ฟังก์ชันที่ซับซ้อนนี้ด้วยพหุนามอย่างง่ายที่ใกล้เคียงกับฟังก์ชันนี้มากที่สุด เราจะสามารถคำนวณการเคลื่อนที่ของอะตอมได้โดยง่าย การประมาณดังกล่าวมีความสำคัญอย่างมากในงานแขนงต่าง ๆ เช่น กลศาสตร์ เคมี พิสิกส์ ฯลฯ [29]

สมมุติว่า เรา มีฟังก์ชัน f ถ้าเราทราบค่าของ f และอนุพันธ์ย่อของ f ที่จุด (a_1, a_2, \dots, a_n) เราสามารถใช้อุปกรณ์ Taylor's series ประเมินค่า f ที่จุด (x_1, x_2, \dots, x_n) ได้ [30] ดังสมการที่ 28

$$f(x_1, x_2, \dots, x_n) = \sum_{l=0}^{\infty} \left\{ \frac{1}{l!} \left[\sum_{k=1}^n (x_k - a_k) \frac{\partial}{\partial x_k} \right]^l f(a_1, a_2, \dots, a_n) \right\} \quad (28)$$

อนุกรมเทย์เลอร์เป็นอนุกรมไม่จำกัด แต่ถ้าจุด (x_1, x_2, \dots, x_n) อยู่ใกล้จุด (a_1, a_2, \dots, a_n) เราอาจจะตัดเทอมหลัง ๆ ของอนุกรમออกไปได้ ทำให้กลาญเป็นพหุนามอย่างง่ายที่เรียกว่าพหุนามเทย์เลอร์ [31] ถ้าเราตัดเทอมของอนุกรມเทย์เลอร์ออกจนพหุนามเทย์เลอร์ที่ได้มีอนุพันธ์ย่ออันดับอันดับแรกเป็นอันดับสูงสุด เราจะได้พหุนามเทย์เลอร์อันดับแรกดังสมการที่ 29

$$f(x_1, x_2, \dots, x_n) = f(a_1, a_2, \dots, a_n) + \sum_{k=1}^n (x_k - a_k) \frac{\partial}{\partial x_k} f(a_1, a_2, \dots, a_n) \quad (29)$$

เมื่อ $f(x_1, x_2, \dots, x_n)$ คือค่าของฟังก์ชันรอบจุด (a_1, a_2, \dots, a_n) และ $\frac{\partial}{\partial x_k} f(a_1, a_2, \dots, a_n)$ คือสัมประสิทธิ์ของพหุนามเทย์เลอร์รอบจุด (a_1, a_2, \dots, a_n)

สรุปท้ายบท

เราสามารถประมาณฟังก์ชันทางคณิตศาสตร์ที่ซับซ้อนที่มีช่วงโดเมนกว้างในสถานการณ์ที่เราต้องการด้วยพหุนามอย่างง่ายที่ได้มาจากอนุกรມเทย์เลอร์เรียกว่าพหุนามเทย์เลอร์ ทำให้เราสามารถทำการคำนวณได้ง่ายขึ้น การประมาณดังกล่าวมีความสำคัญอย่างมากในงานแขนงต่าง ๆ เช่น กลศาสตร์ เคมี พิสิกส์ ฯลฯ

บทที่ 4

ระบบเซอร์โวเชิงภาพและจาโคเบียนเชิงภาพ

บทนี้จะกล่าวถึงการควบคุมหุ่นยนต์แบบเซอร์โวเชิงภาพตั้งแต่หัวข้อตัวแบบของกล้อง ระบบเซอร์โวเชิงภาพ (visual servo system) แบบต่าง ๆ และจาโคเบียนเชิงภาพ (image Jacobian)

ระบบเซอร์โวเชิงภาพ (Visual Servo System)

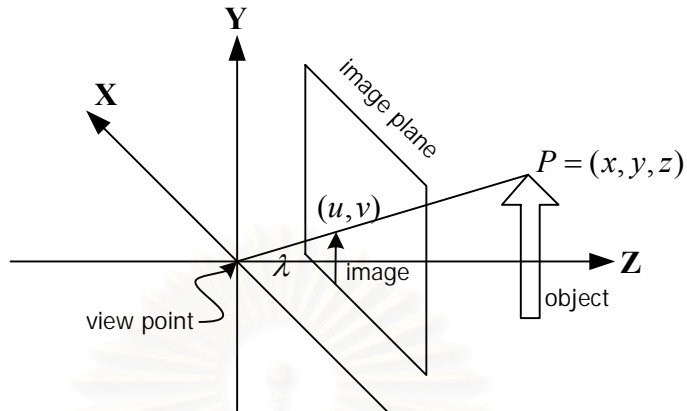
การควบคุมหุ่นยนต์โดยใช้ข้อมูลป้อนกลับจากการมองเห็นถูกนำมาใช้ เพื่อเพิ่มความยืดหยุ่นและความถูกต้องของระบบหุ่นยนต์ ระบบการควบคุมหุ่นยนต์แบบนี้เรียกว่าระบบเซอร์โวเชิงภาพ [1] ระบบเซอร์โvoเชิงภาพสามารถนำไปประยุกต์ใช้ในงานด้านต่าง ๆ ได้อย่างกว้างขวาง เช่น การผลิต (การหยิบวัสดุบนสายพานและการประกอบชิ้นส่วน), การควบคุมพวงมาลัยรถยนต์, การจอดเครื่องบิน, การทำให้สมดุล, การทำงานระยะใกล้ เป็นต้น แม้ว่าระบบเซอร์โvoเชิงภาพได้เกิดขึ้นมาเป็นเวลานานแล้ว การประยุกต์ใช้งานเทคโนโลยีนี้ยังคงถูกจัดตั้ง เนื่องจากความต้องการสารดัชนีประสิทธิภาพสูงที่มีราคาแพง อย่างไรก็ตามอุปกรณ์ เช่น กล้อง, าร์ดแวร์ประมวลผลภาพ, คอมพิวเตอร์ฯลฯ มีราคาถูกลง และมีแนวโน้มที่จะถูกลงอีกในอนาคต อีกทั้งกล้องในท้องตลาดปัจจุบันเป็นกล้องที่มีประสิทธิภาพสูง เช่น มีความละเอียดภาพ (image resolution) สูงกว่ามาตรฐานของโทรศัพท์สมาร์ตโฟนซึ่งเป็นข้อจำกัดของกล้องมาเป็นเวลานาน [2] เนื่องจากประโยชน์ในการประยุกต์ใช้งาน, เทคโนโลยีที่มีความสามารถสูงขึ้นในปัจจุบัน, และแนวโน้มของราคางานที่ได้กล่าวมา ระบบเซอร์โvoเชิงภาพจะมีความสำคัญ และกลายเป็นระบบควบคุมสำหรับหุ่นยนต์ทั่วไปในอนาคต

ตัวแบบการฉายของกล้อง (Camera Projection Models)

เพื่อที่จะควบคุมหุ่นยนต์โดยใช้ข้อมูลจากการมองเห็น เราจึงต้องศึกษากระบวนการเกิดภาพที่จำเป็น กล้องแต่ละตัวจะประกอบด้วยเลนส์ (lens) ที่ทำให้เกิดการฉาย 2 มิติ (2D projection) ลงบนรูปแบบภาพที่มีตัวรับรู้ (sensor) อยู่ การฉายนี้ทำให้ข้อมูลความลึกหายไป ดังนั้นแต่ละจุดบนรูปแบบภาพจะเป็นรังสี (ray) ในปริภูมิ 3 มิติ (3D space) เพราะฉะนั้นจึงต้องการข้อมูลเพิ่มเติมเพื่อที่จะระบุพิกัด 3 มิติ จากจุดบนรูปแบบภาพ ข้อมูลนี้อาจมากกล้องหลาย ๆ ตัว, หลาย ๆ มุมมอง โดยกล้องตัวเดียว, หรือความรู้เกี่ยวกับความสัมพันธ์ทางเรขาคณิตระหว่างจุดหลาย ๆ จุดบนรูปภาพ ในส่วนนี้จะอธิบายตัวแบบการฉาย 3 แบบ ที่ใช้กันอย่างกว้างขวาง ในการจำลองกระบวนการสร้างภาพ ได้แก่ การฉายเชิงทัศนวิติ (perspective projection), การฉายเชิงเส้นตั้งฉากตามมาตรา (scaled orthographic projection), และการฉายเชิงล้มเหลว (affine projection)

สำหรับตัวแบบการฉายแต่ละแบบเรากำหนดระบบพิกัดกล้องด้วยแกน X และ Y เพื่อเป็นพื้นฐานสำหรับรูปแบบภาพ โดยให้แกน Z ตั้งฉากกับรูปแบบภาพ (แนวเดียวกันกับแกนเชิงแสง – optical axis) และมีจุด

กำเนิด (origin) อุญจักระยะ λ หลังระบบภาพ โดยที่ λ เป็นความยาวโฟกัส (focal length) ของเลนส์ของกล้อง ดังแสดงในรูปที่ 4



รูปที่ 4 กรอบพิกัดสำหรับระบบกล้อง

1. การฉายเชิงทัศนวิติ (perspective projection) : ถ้ากล้องถูกจำลองโดยใช้การฉายเชิงทัศนวิติ (ดู [32]) จุด ${}^c\mathbf{P} = [x, y, z]^T$ ซึ่งพิกัดอยู่ในรูปกรอบพิกัด (coordinate frame) ของกล้อง c จะฉายลงบนระบบภาพที่มีพิกัด $\mathbf{p} = [u, v]^T$ ได้เป็น

$$\pi(x, y, z) = \begin{bmatrix} u \\ v \end{bmatrix} = \frac{\lambda}{z} \begin{bmatrix} x \\ y \end{bmatrix} \quad (30)$$

ถ้าพิกัดของ \mathbf{P} อยู่ในรูปกรอบพิกัด x เราจะต้องทำการแปลงพิกัด ${}^c\mathbf{P} = {}^cx({}^x\mathbf{P})$ ก่อน

2. การฉายเชิงเส้นตั้งฉากตามมาตรา (scaled orthographic projection) : การฉายเชิงทัศนวิติเป็นการส่งแบบไม่เชิงเส้น (nonlinear) จากการที่เขียนไปยังพิกัดภาพ ในหลายกรณี เป็นไปได้ที่จะประมาณการส่งนี้โดยการฉายเชิงเส้นตั้งฉากตามมาตราซึ่งเป็นการส่งเชิงเส้นภายในตัวแบบนี้ พิกัดภาพสำหรับจุด ${}^c\mathbf{P}$ จะเป็น

$$\begin{bmatrix} u \\ v \end{bmatrix} = s \begin{bmatrix} x \\ y \end{bmatrix} \quad (31)$$

เมื่อ s คือตัวประกอบมาตราคงที่ (fixed scale factor)

ตัวแบบการฉายเชิงเส้นตั้งฉากตามมาตราหมายความว่า สำหรับกรณีที่ความลึกสัมพัทธ์ของจุดค่อนข้างน้อย เมื่อเทียบกับระยะทางจากกล้องไปยังจุด เช่น เครื่องบินบินอยู่ในท้องฟ้าหรือกล้องที่มีความยาวโฟกัสค่อนข้างยาว วงอุญจักรายめตรจากปริภูมิงาน (workspace)

3. การฉายเชิงสัมพรรค (affine projection) : เป็นการประมาณการฉายเชิงทัศนวิติอีกแบบหนึ่งที่เป็นการประมาณเชิงเส้น ในกรณีนี้พิกัดภาพสำหรับการฉายของจุด ${}^c\mathbf{P}$ จะเป็น

$$\begin{bmatrix} u \\ v \end{bmatrix} = \mathbf{A} {}^c\mathbf{P} + \mathbf{c} \quad (32)$$

เมื่อ \mathbf{A} คือเมตริกซ์ขนาด 2×3 ได ๆ และ \mathbf{c} คือเวกเตอร์ขนาด 2 ได ๆ

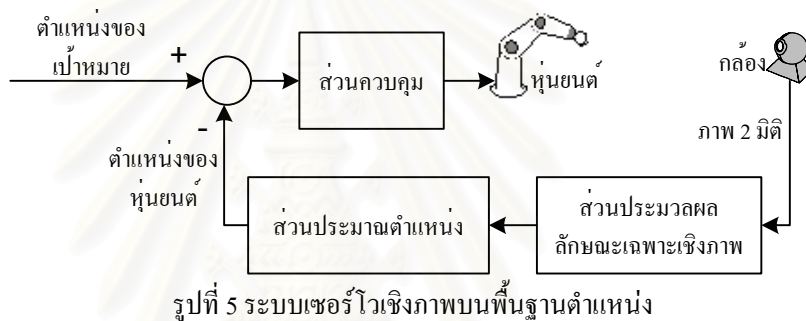
จะเห็นว่า การฉายเชิงเส้นตั้งฉากตามมาตราเป็นกรณีพิเศษของการฉายเชิงสัมพรรค การฉายเชิงสัมพรรคอาจไม่ตรงกับสถานการณ์การเกิดภาพได ๆ โดยเฉพาะ แต่เป็นการประมาณการฉายเชิงทัศนวิติที่ดีใน

บริเวณแคนเปละบริเวณ เนื่องจากตัวแบบเป็นแบบเชิงเส้น A และ C จึงสามารถคำนวณได้จ่ายโดยใช้เทคนิคการลดดอขเชิงเส้น [33] ทำให้ลดความซับซ้อนของปัญหาไปได้มาก

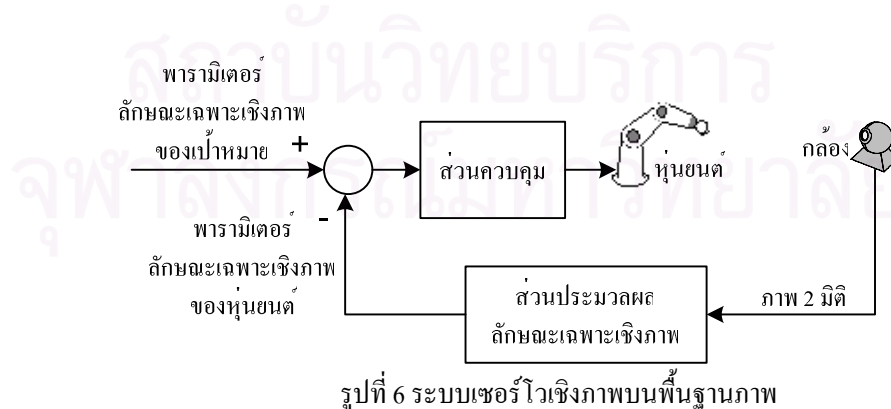
สถาปัตยกรรมการเชอร์โว (Servoing Architectures)

ระบบเชอร์โวเชิงภาพสามารถจำแนกตามลักษณะอินพุตของส่วนควบคุม ได้ 2 ประเภท ได้แก่ ระบบบนพื้นฐานตำแหน่ง (position-based system) และระบบบนพื้นฐานภาพ (image-based system) [5]

ในระบบบนพื้นฐานตำแหน่ง ลักษณะเฉพาะเชิงภาพ (image feature) เช่น สัญลักษณ์ที่ทำไว้ที่จุดปลายของแขนหุ่นยนต์ จะถูกดึงออกมาจากภาพ 2 มิติ แล้วใช้ข้อมูลทางเรขาคณิตกับตัวแบบของกล้อง เพื่อที่จะประมาณตำแหน่งในโลกจริงดังรูปที่ 5



ส่วนระบบบนพื้นฐานภาพ ค่าที่ป้อนกลับไปจะอยู่ในรูปแบบค่าที่ได้จากลักษณะเฉพาะเชิงภาพที่เรียกว่า พารามิเตอร์ลักษณะเฉพาะเชิงภาพ (image feature parameter) โดยตรง เช่น ค่าพิกัดระนาบภาพ (image plane coordinates) ของลักษณะเฉพาะเชิงภาพ จะเห็นว่า ระบบบนพื้นฐานของภาพจะไม่ต้องแปลงความหมายของภาพ เป็นตำแหน่งในโลกจริง ทำให้ลดปัญหาความผิดพลาดเนื่องจากการสร้างแบบจำลองของกล้อง โครงสร้างของระบบบนพื้นฐานภาพแสดงดังรูปที่ 6



จาโคเบียนเชิงภาพ (Image Jacobian)

ในระบบบนพื้นฐานภาพ อินพุตของส่วนควบคุมจะอยู่ในรูปแบบพารามิเตอร์ลักษณะเฉพาะเชิงภาพ ในขณะที่อินพุตของหุ่นยนต์มักจะอยู่ในรูปแบบพิกัดข้อต่อของหุ่นยนต์หรือตำแหน่งของหุ่นยนต์ เพราะฉะนั้น จึงจำเป็นจะต้องสัมพันธ์ความเปลี่ยนแปลงของพารามิเตอร์ลักษณะเฉพาะเชิงภาพกับความเปลี่ยนแปลงของ ตำแหน่งของหุ่นยนต์ เมทริกซ์ที่ทำหน้าที่นี้เรียกว่า จาโคเบียนเชิงภาพ [2] โดยมีความสัมพันธ์คือ

$$\Delta \mathbf{f} = \mathbf{J}(\mathbf{r}) \Delta \mathbf{r} \quad (33)$$

เมื่อ $\mathbf{J}(\mathbf{r})$ คือจาโคเบียนเชิงภาพซึ่งเป็นฟังก์ชันของตำแหน่ง โดยสมการของฟังก์ชันจะขึ้นอยู่กับโครงแบบและ ตัวแบบของระบบ, $\Delta \mathbf{f}$ คือเวลาเตอร์ของความเปลี่ยนแปลงของพารามิเตอร์ลักษณะเฉพาะเชิงภาพ, และ $\Delta \mathbf{r}$ คือ เวลาเตอร์ของความเปลี่ยนแปลงของตำแหน่งของหุ่นยนต์

จาโคเบียนเชิงภาพเป็นที่รู้จักครั้งแรกโดย Sanderson, Weiss, และ Neuman [7] ในชื่อของ ฟีเตอร์เซนซิทิวิตี้เมทริกซ์ (feature sensitivity matrix) นอกจากนี้จาโคเบียนเชิงภาพยังถูกอ้างถึงในนาม อินเตอร์แอคชันเมทริกซ์ (interaction matrix) [8] และบีเมทริกซ์ (B matrix) [9], [10] ด้วยย่างการประยุกต์ใช้งาน จาโคเบียนเชิงภาพสามารถหาได้จาก [11], [12], [13]

สรุปท้ายบท

ระบบเชอร์โวเชิงภาพเป็นการควบคุมหุ่นยนต์โดยใช้ข้อมูลป้อนกลับจากการมองเห็นถูกนำมาใช้ เพื่อเพิ่มความยืดหยุ่นและความถูกต้องของระบบหุ่นยนต์ เนื่องจากประโยชน์ในการประยุกต์ใช้งาน, เทคโนโลยี ที่มีความสามารถสูงขึ้นในปัจจุบัน, และแนวโน้มของราคายังที่ได้กล่าวมา ระบบเชอร์โวเชิงภาพจะมีความสำคัญ และกลายเป็นระบบควบคุมสำหรับหุ่นยนต์ทั่วไปในอนาคต

บทที่ 5

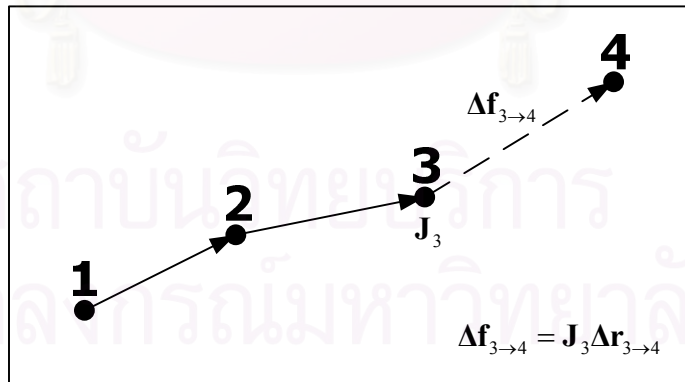
วิธีการประมาณจากเบียนเชิงภาพ

ในระบบเซอร์โวเชิงภาพที่ใช้จากเบียนเชิงภาพ การประมาณจากจากเบียนเชิงภาพเป็นสิ่งจำเป็น วิธีการประมาณที่ให้ค่าจากเบียนเชิงภาพที่เหมาะสม จะทำให้ระบบมีความผิดพลาดในการเคลื่อนที่ลดน้อยลง ในบทนี้ เราจะวิเคราะห์วิธีการประมาณจากเบียนเชิงภาพที่เราใช้เปรียบเทียบในการทดลองอย่างละเอียด 4 วิธี ได้แก่

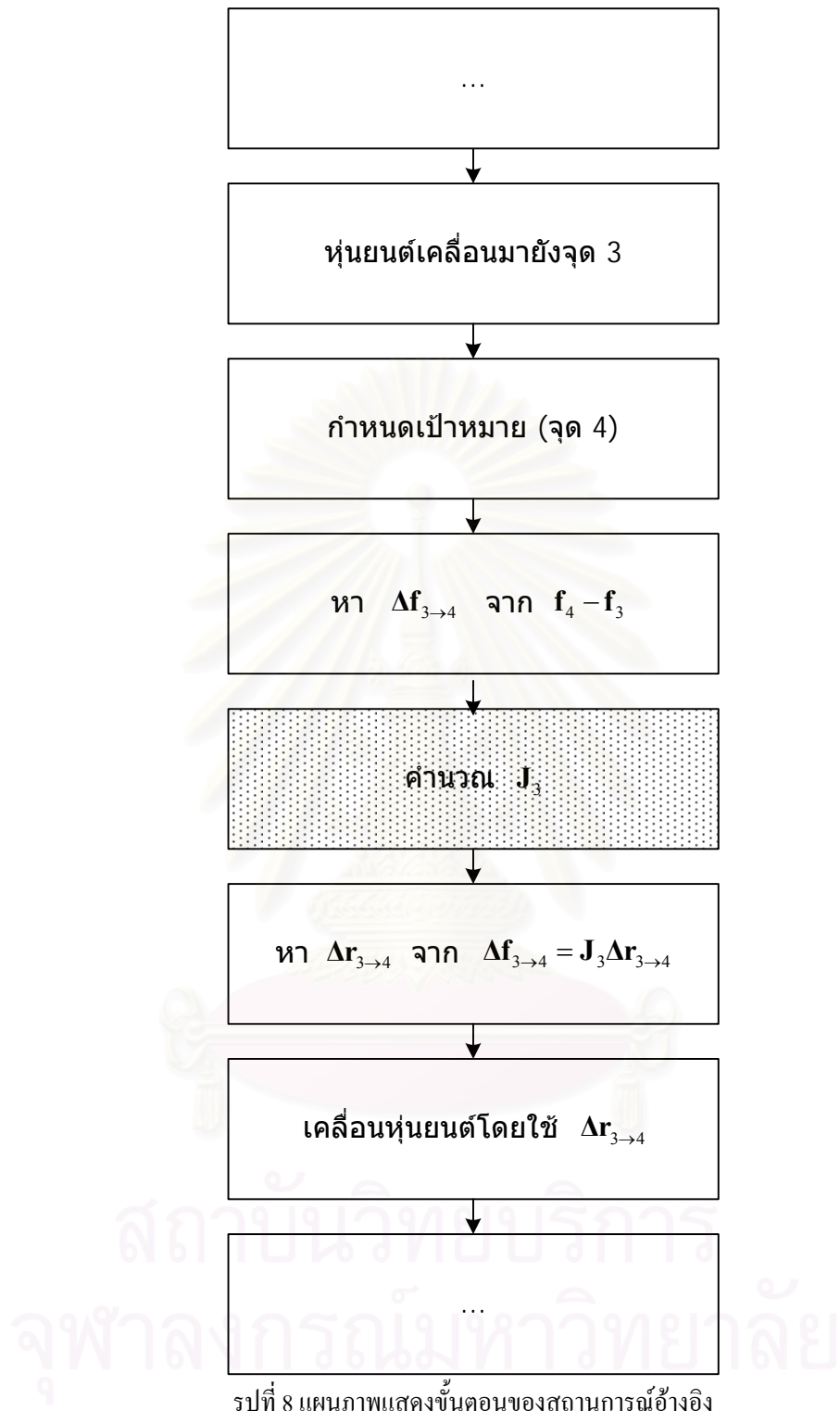
1. วิธีของงานวิจัยของ Conkie และ Chongstitvatana [14]
2. วิธีของงานวิจัยของ Jagersand, Nelson, และ Fuentes [3], [15], [16]
3. วิธีของงานวิจัยของ Kata Praditwong และ Prabhas Chongstitvatana [19], [20]
4. วิธีของงานวิจัยนี้

เพื่อประโยชน์ในการวิเคราะห์และเปรียบเทียบวิธีการประมาณจากเบียนเชิงภาพแบบต่าง ๆ เราจะสมมุติสถานการณ์อ้างอิงสำหรับใช้ร่วมกันในวิธีการแบบต่าง ๆ ดังนี้

สมมุติในอดีตที่ผ่านมาหุ่นยนต์ได้เคลื่อนที่เป็นลำดับจากจุด 1 ไปยังจุด 2 และจุด 2 ไปยังจุด 3 โดยปัจจุบันหุ่นยนต์อยู่ที่จุด 3 แล้วกำลังต้องการที่จะเคลื่อนหุ่นยนต์จากจุด 3 ไปจุด 4 ดังรูปที่ 7 ดังนั้นสิ่งที่ต้องทำคือการหาค่าจากเบียนเชิงภาพที่จุด 3 หรือ \mathbf{J}_3 เพื่อที่จะใช้ในการหาค่าเวกเตอร์ของความเปลี่ยนแปลงของตำแหน่งของหุ่นยนต์ $\Delta\mathbf{r}_{3 \rightarrow 4}$ จากสมการ $\Delta\mathbf{f}_{3 \rightarrow 4} = \mathbf{J}_3 \Delta\mathbf{r}_{3 \rightarrow 4}$ และจึงนำค่า $\Delta\mathbf{r}_{3 \rightarrow 4}$ ที่ได้ไปใช้ในการเคลื่อนที่หุ่นยนต์ จริงดังแผนภาพในรูปที่ 8



รูปที่ 7 ตำแหน่งของสถานการณ์อ้างอิงที่จะใช้ในการวิเคราะห์และเปรียบเทียบวิธีการประมาณจากเบียนเชิงภาพ
แบบต่าง ๆ



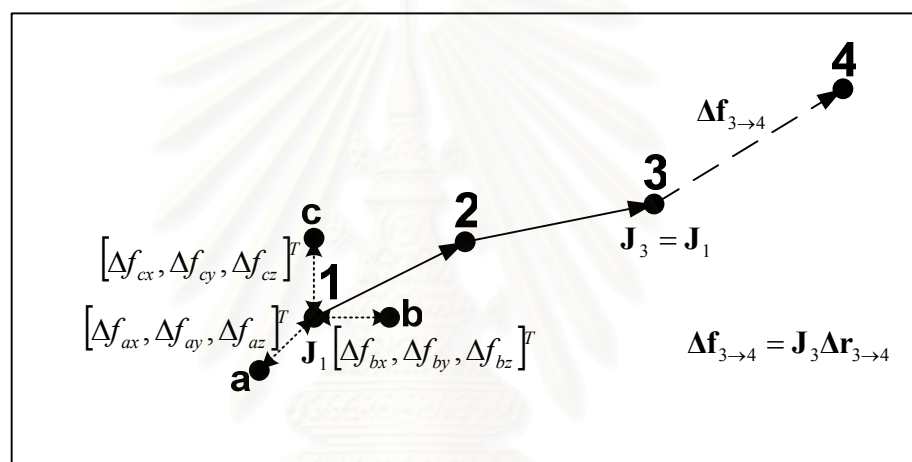
รูปที่ 8 แผนภาพแสดงขั้นตอนของสถานการณ์อ้างอิง

ส่วนต่อไปของบทนี้จะแสดงการวิเคราะห์และเปรียบเทียบวิธีการประมาณจากเบียนเชิงภาพแบบต่างๆ ในการหาค่าจากเบียนเชิงภาพที่จุด 3 หรือ J_3

วิธีของงานวิจัยของ Conkie และ Chongstitvatana [14]

ปี 1990 Conkie และ Chongstitvatana ได้ประมาณจากโโคเบี้ยนเชิงภาพขนาด 3×3 โดยประมาณค่าจากโโคเบี้ยนเชิงภาพเพียงครั้งเดียวที่จุดเริ่มต้น แล้วใช้ค่าจากโโคเบี้ยนเชิงภาพนั้นเพียงค่าเดียวตลอดการเคลื่อนที่

การประมาณค่าจากโโคเบี้ยนเชิงภาพด้วยวิธีนี้จะใช้การเคลื่อนที่ทดสอบหุ่นยนต์ที่จุดเริ่มต้นคือจุดที่ 1 เมื่อเคลื่อนเสร็จแล้ว จะเคลื่อนหุ่นยนต์กลับมาบังคับเดิมเพื่อทำการเคลื่อนที่ครั้งต่อไป โดยจะทำการเคลื่อนที่ทดสอบจำนวน 3 ครั้ง สมมุติในการทดสอบแต่ละครั้งเราสั่งให้หุ่นยนต์เคลื่อนที่ไป $[\Delta r_a, 0, 0]^T$, $[0, \Delta r_b, 0]^T$, และ $[0, 0, \Delta r_c]^T$ ทำให้ได้เวกเตอร์ของความเปลี่ยนแปลงของพารามิเตอร์ลักษณะเฉพาะเชิงภาพเป็น $[\Delta f_{ax}, \Delta f_{ay}, \Delta f_{az}]^T$, $[\Delta f_{bx}, \Delta f_{by}, \Delta f_{bz}]^T$, และ $[\Delta f_{cx}, \Delta f_{cy}, \Delta f_{cz}]^T$ ตามลำดับดังรูปที่ 9



รูปที่ 9 ตำแหน่งของสถานการณ์อ้างอิงสำหรับวิธีการประมาณจากโโคเบี้ยนเชิงภาพของ Conkie และ Chongstitvatana

จากนิยามค่าจากโโคเบี้ยนเชิงภาพ $\Delta \mathbf{f} = \mathbf{J} \Delta \mathbf{r}$ ดังนั้นค่าจากโโคเบี้ยนเชิงภาพ \mathbf{J}_1 ที่ได้จากการทดสอบจะเป็น

$$\mathbf{J}_1 = \begin{bmatrix} \frac{\Delta f_{ax}}{\Delta r_a} & \frac{\Delta f_{bx}}{\Delta r_b} & \frac{\Delta f_{cx}}{\Delta r_c} \\ \frac{\Delta f_{ay}}{\Delta r_a} & \frac{\Delta f_{by}}{\Delta r_b} & \frac{\Delta f_{cy}}{\Delta r_c} \\ \frac{\Delta f_{az}}{\Delta r_a} & \frac{\Delta f_{bz}}{\Delta r_b} & \frac{\Delta f_{cz}}{\Delta r_c} \end{bmatrix} \quad (34)$$

หลังจากการเคลื่อนที่ทดสอบเสร็จ หุ่นยนต์จึงเริ่มเคลื่อนที่จริง โดยให้ค่าจากโโคเบี้ยนเชิงภาพของทุกจุดเท่ากับ \mathbf{J}_1

ในสถานการณ์อ้างอิงค่าจากโโคเบี้ยนเชิงภาพที่ต้องการหาคือค่าจากโโคเบี้ยนเชิงภาพที่จุด 3 หรือ \mathbf{J}_3 ซึ่งวิธีการประมาณนี้จะให้ \mathbf{J}_3 มีค่าเท่ากับค่า \mathbf{J}_1 ที่หาได้จากขั้นตอนดังแผนภาพในรูปที่ 10



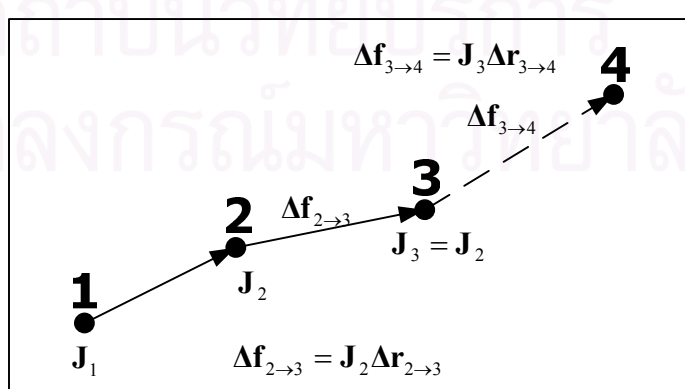
รูปที่ 10 แผนภาพแสดงขั้นตอนของวิธีการประมาณจาโคบีyanเชิงภาพของ Conkie และ Chongstitvatana

อย่างไรก็ตามค่าจาโคบีyanเชิงภาพที่ได้นี้จะใช้ได้เฉพาะบริเวณใกล้จุดที่ประมาณคือจุดที่ 1 เท่านั้น

วิธีของงานวิจัยของ Jagersand, Nelson, และ Fuentes [3], [15], [16]

ในปี 1996-1997 Jagersand, Fuentes, และ Nelson พยายามปรับค่าจาโคบีyanเชิงภาพให้สอดคล้องกับข้อมูลการเคลื่อนที่ครั้งที่แล้ว โดย Jagersand และคณะใช้การทำให้เหมาะสมที่สุด ไม่เชิงเส้น (nonlinear optimization) ที่เรียกว่าวิธีบroyden (Broyden method) ปรับค่าจาโคบีyanเชิงภาพลดอัตราการเคลื่อนที่

ในสถานการณ์อ้างอิงเราต้องการจะประมาณจาโคบีyanเชิงภาพ เพื่อที่จะเคลื่อนหุ่นยนต์จากจุด 3 ไปจุด 4 ดังรูปที่ 11 สังเกตว่าครั้งสุดท้ายเราเคลื่อนที่จากจุดที่ 2 มาจังจุดที่ 3 ดังนั้นข้อมูลการเคลื่อนที่ครั้งล่าสุด ได้แก่ เวลาเดอร์ของความเปลี่ยนแปลงของตำแหน่งของหุ่นยนต์ $\Delta r_{2 \rightarrow 3}$ และเวลาเดอร์ของความเปลี่ยนแปลงของพารามิเตอร์ลักษณะเฉพาะเชิงภาพ $\Delta f_{2 \rightarrow 3}$



รูปที่ 11 ตำแหน่งของสถานการณ์อ้างอิงสำหรับวิธีการประมาณจาโคบีyanเชิงภาพของ Jagersand, Nelson, และ Fuentes

Jagersand และคณะได้หาค่าจาโคเบียนเชิงภาพที่สอดคล้องกับข้อมูลการเคลื่อนที่ครั้งที่แล้ว โดยพยากรณ์ให้เป็นไปตามสมการ

$$\Delta \mathbf{f}_{2 \rightarrow 3} = \mathbf{J}_2 \Delta \mathbf{r}_{2 \rightarrow 3} \quad (35)$$

เนื่องจากสมการที่ 2 เป็นสมการซีแคนต์ (secant equation) จึงมีค่า \mathbf{J}_2 ได้หลายคำตอบ

Jagersand และคณะได้แก้สมการที่ 35 โดยการแปลงระบบพิกัดปัจจุบัน O ไปเป็น O' ที่ทำให้ $\Delta \mathbf{r}_{2 \rightarrow 3}$ เป็นฐานหลัก (basis) ของ O' ถ้าใช้เมตริกซ์แปลง \mathbf{P} ในการแปลง เราจะได้คุณสมบัติของระบบพิกัดดังนี้

1. $\mathbf{P}^{-1} = \mathbf{P}^T$ (36) ; คุณสมบัติของการแปลงระบบพิกัดเชิงตั้งฉากปกติ (orthonormal coordinate transformation) ที่มีจุดกำเนิดที่จุดเดียวกัน

2. $\Delta \mathbf{r}_{2 \rightarrow 3} = \mathbf{P} \Delta \mathbf{r}'_{2 \rightarrow 3}$ (37) และ $\Delta \mathbf{r}'_{2 \rightarrow 3} = \mathbf{P}^T \Delta \mathbf{r}_{2 \rightarrow 3}$ (38) ; เนื่องจาก \mathbf{P} เป็นเมตริกซ์แปลงจาก O ไปเป็น O' และสมการที่ 36

3. $\Delta \mathbf{f}_{2 \rightarrow 3} = \mathbf{P} \Delta \mathbf{f}'_{2 \rightarrow 3}$ (39) และ $\Delta \mathbf{f}'_{2 \rightarrow 3} = \mathbf{P}^T \Delta \mathbf{f}_{2 \rightarrow 3}$ (40) ; เนื่องจาก \mathbf{P} เป็นเมตริกซ์แปลงจาก O ไปเป็น O' และสมการที่ 36

$$4. \mathbf{J}'_2 = \mathbf{P}^T \mathbf{J}_2 \mathbf{P} \quad (41)$$

พิสูจน์

$$\Delta \mathbf{f}_{2 \rightarrow 3} = \mathbf{J}_2 \Delta \mathbf{r}_{2 \rightarrow 3} \quad ; \text{ จากสมการที่ 35}$$

$$\mathbf{P} \Delta \mathbf{f}'_{2 \rightarrow 3} = \mathbf{J} \mathbf{P}_2 \Delta \mathbf{r}'_{2 \rightarrow 3} \quad ; \text{ แทน } \Delta \mathbf{f}_{2 \rightarrow 3} \text{ และ } \Delta \mathbf{r}_{2 \rightarrow 3} \text{ ด้วยสมการที่ 39 และ 37}$$

$$\Delta \mathbf{f}'_{2 \rightarrow 3} = \mathbf{P}^{-1} \mathbf{J}_2 \mathbf{P} \Delta \mathbf{r}'_{2 \rightarrow 3} ; \text{ คูณด้านซ้ายทั้งสองข้างของสมการด้วย } \mathbf{P}^{-1}$$

$$\Delta \mathbf{f}'_{2 \rightarrow 3} = \mathbf{P}^T \mathbf{J}_2 \mathbf{P} \Delta \mathbf{r}'_{2 \rightarrow 3} ; \text{ จากสมการที่ 36 } \mathbf{P}^{-1} = \mathbf{P}^T$$

$$\mathbf{J}'_2 \Delta \mathbf{r}'_{2 \rightarrow 3} = \mathbf{P}^T \mathbf{J}_2 \mathbf{P} \Delta \mathbf{r}'_{2 \rightarrow 3} ; \text{ หาก } \Delta \mathbf{f}'_{2 \rightarrow 3} = \mathbf{J}'_2 \Delta \mathbf{r}'_{2 \rightarrow 3}$$

$$\mathbf{J}'_2 = \mathbf{P}^T \mathbf{J}_2 \mathbf{P} \quad ; \text{ คูณด้านขวาทั้งสองข้างของสมการด้วย } \Delta \mathbf{r}'_{2 \rightarrow 3}^{-1}$$

พิจารณาระบบพิกัด O' $\Delta \mathbf{r}'_{2 \rightarrow 3}$ เป็นฐานหลักอยู่ในแนวเดียวกับแกนพิกัดแกนแรก ดังนั้น $\Delta \mathbf{r}'_{2 \rightarrow 3}$ จะมีสมักษิกที่ไม่มีค่าเป็นศูนย์เพียงตัวเดียวคือสมักษิกตัวแรก สมมุติให้สมักษิกตัวนั้นคือ $(\Delta \mathbf{r}'_{2 \rightarrow 3})_1$ แทนในสมการ

$$\Delta \mathbf{f}'_{2 \rightarrow 3} = \mathbf{J}'_2 \Delta \mathbf{r}'_{2 \rightarrow 3} \text{ จะได้}$$

$$\begin{bmatrix} (\Delta \mathbf{f}'_{2 \rightarrow 3})_1 \\ (\Delta \mathbf{f}'_{2 \rightarrow 3})_2 \\ \dots \\ (\Delta \mathbf{f}'_{2 \rightarrow 3})_m \end{bmatrix} = \begin{bmatrix} (\mathbf{J}'_2)_{11} & (\mathbf{J}'_2)_{12} & \dots & (\mathbf{J}'_2)_{1n} \\ (\mathbf{J}'_2)_{21} & (\mathbf{J}'_2)_{22} & \dots & (\mathbf{J}'_2)_{2n} \\ \dots & \dots & \dots & \dots \\ (\mathbf{J}'_2)_{m1} & (\mathbf{J}'_2)_{m21} & \dots & (\mathbf{J}'_2)_{mn} \end{bmatrix} \begin{bmatrix} (\Delta \mathbf{r}'_{2 \rightarrow 3})_1 \\ 0 \\ \dots \\ 0 \end{bmatrix}$$

$$\begin{bmatrix} (\Delta \mathbf{f}'_{2 \rightarrow 3})_1 \\ (\Delta \mathbf{f}'_{2 \rightarrow 3})_2 \\ \dots \\ (\Delta \mathbf{f}'_{2 \rightarrow 3})_m \end{bmatrix} = (\Delta \mathbf{r}'_{2 \rightarrow 3})_1 \begin{bmatrix} (\mathbf{J}'_2)_{11} \\ (\mathbf{J}'_2)_{21} \\ \dots \\ (\mathbf{J}'_2)_{m1} \end{bmatrix}$$

$$\begin{bmatrix} (\mathbf{J}'_2)_{11} \\ (\mathbf{J}'_2)_{21} \\ \dots \\ (\mathbf{J}'_2)_{m1} \end{bmatrix} = \begin{bmatrix} (\Delta \mathbf{f}'_{2 \rightarrow 3})_1 \\ (\Delta \mathbf{f}'_{2 \rightarrow 3})_2 \\ \dots \\ (\Delta \mathbf{f}'_{2 \rightarrow 3})_m \end{bmatrix} / (\Delta \mathbf{r}'_{2 \rightarrow 3})_1$$

ดังนั้นค่าตอบของสมการ $\Delta \mathbf{f}'_{2 \rightarrow 3} = \mathbf{J}'_2 \Delta \mathbf{r}'_{2 \rightarrow 3}$ ได้แก่ \mathbf{J}'_2 ที่มีคอลัมน์แรกเป็น $\frac{\Delta \mathbf{f}'_{2 \rightarrow 3}}{(\Delta \mathbf{r}'_{2 \rightarrow 3})_1}$ ถ้าเราเดือก \mathbf{J}'_2 ที่มีคอลัมน์แรกเป็น $\frac{\Delta \mathbf{f}'_{2 \rightarrow 3}}{(\Delta \mathbf{r}'_{2 \rightarrow 3})_1}$ ส่วนสมาชิกที่เหลือเป็นศูนย์หมด จะได้

$$\mathbf{J}'_2 = \begin{bmatrix} (\mathbf{J}'_2)_{11} & 0 & \dots & 0 \\ (\mathbf{J}'_2)_{21} & 0 & \dots & 0 \\ \dots & \dots & \dots & \dots \\ (\mathbf{J}'_2)_{m1} & 0 & \dots & 0 \end{bmatrix}$$

$$\mathbf{J}'_2 = \begin{bmatrix} (\mathbf{J}'_2)_{11} \\ (\mathbf{J}'_2)_{21} \\ \dots \\ (\mathbf{J}'_2)_{m1} \end{bmatrix} \begin{bmatrix} 1 & 0 & \dots & 0 \end{bmatrix}$$

$$\mathbf{J}'_2 = \begin{bmatrix} (\mathbf{J}'_2)_{11} \\ (\mathbf{J}'_2)_{21} \\ \dots \\ (\mathbf{J}'_2)_{m1} \end{bmatrix} \begin{bmatrix} (\Delta \mathbf{r}'_{2 \rightarrow 3})_1 & 0 & \dots & 0 \\ & (\Delta \mathbf{r}'_{2 \rightarrow 3})_1 & & \end{bmatrix}$$

$$\mathbf{J}'_2 = \frac{\Delta \mathbf{f}'_{2 \rightarrow 3}}{(\Delta \mathbf{r}'_{2 \rightarrow 3})_1} \frac{\Delta \mathbf{r}'_{2 \rightarrow 3}^T}{(\Delta \mathbf{r}'_{2 \rightarrow 3})_1}$$

$$\mathbf{P}^T \mathbf{J}'_2 \mathbf{P} = \frac{(\mathbf{P}^T \Delta \mathbf{f}_{2 \rightarrow 3})(\mathbf{P}^T \Delta \mathbf{r}_{2 \rightarrow 3})^T}{|\Delta \mathbf{r}'_{2 \rightarrow 3}|^2}$$

$$\mathbf{P}^T \mathbf{J}'_2 \mathbf{P} = \frac{\mathbf{P}^T (\Delta \mathbf{f}_{2 \rightarrow 3} \Delta \mathbf{r}_{2 \rightarrow 3}^T) \mathbf{P}}{|\Delta \mathbf{r}'_{2 \rightarrow 3}|^2}$$

$$\mathbf{J}_2 = \frac{\Delta \mathbf{f}_{2 \rightarrow 3} \Delta \mathbf{r}_{2 \rightarrow 3}^T}{|\Delta \mathbf{r}_{2 \rightarrow 3}|^2}$$

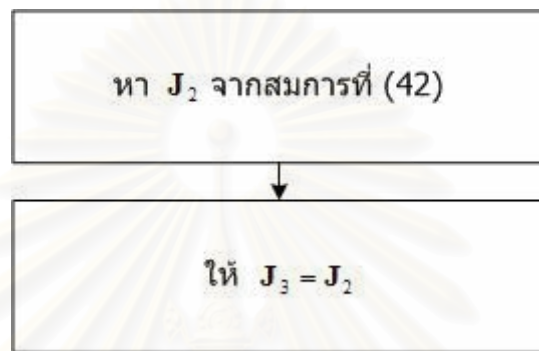
แต่เราต้องการปรับ \mathbf{J}_2 ให้ใกล้เคียงกับ \mathbf{J}_1

$$\mathbf{J}_2 = \mathbf{J}_1 + \frac{(real \Delta \mathbf{f}_{2 \rightarrow 3} - \Delta \mathbf{f}_{2 \rightarrow 3} from \mathbf{J}_1) \Delta \mathbf{r}_{2 \rightarrow 3}^T}{|\Delta \mathbf{r}_{2 \rightarrow 3}|^2}$$

เพราะະນັ້ນຈະໄດ້ສາມາດໃຊ້ປັບຄ່າຈາໂຄເນີນເຊີງກາພຕາມຂໍ້ມູນກາຮເກລືອນທີ່ກັບຄ່າສຸດເປັນ

$$\mathbf{J}_2 = \mathbf{J}_1 + \frac{(\Delta \mathbf{f}_{2 \rightarrow 3} - \mathbf{J}_1 \Delta \mathbf{r}_{2 \rightarrow 3}) \Delta \mathbf{r}_{2 \rightarrow 3}^T}{\Delta \mathbf{r}_{2 \rightarrow 3}^T \Delta \mathbf{r}_{2 \rightarrow 3}} \quad (42)$$

ຈະເຫັນວ່າ ຄ່າຈາໂຄເນີນເຊີງກາພທີ່ປັບຕາມຂໍ້ມູນກາຮເກລືອນທີ່ກັບຄ່າສຸດ ໂດຍວິທີນີ້ຈະເປັນຈາໂຄເນີນ
ເຊີງກາພຂອງຈຸດ 2 ລັດຈາກປັບຄ່າຈາໂຄເນີນເຊີງກາພແລ້ວ ຈະໄໝ \mathbf{J}_3 ທີ່ຕ້ອງກາຮາຄ່າໃນສານກາຮນ໌ອ້າງອີງມີຄ່າ
ເທົ່າກັບຄ່າ \mathbf{J}_2 ທີ່ຫາໄດ້ຈາກສາມາດທີ່ 42 ດັ່ງແຜນກາພໃນຮູບທີ່ 12



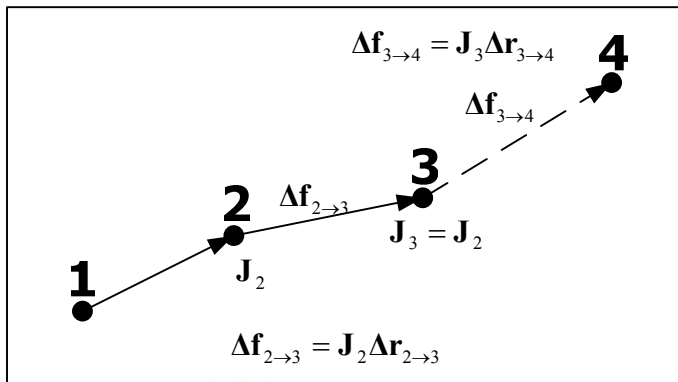
ຮູບທີ່ 12 ແຜນກາພແສດງບັນດອນຂອງວິທີກາຮປະມານຈາໂຄເນີນເຊີງກາພຂອງ Jagersand, Nelson, ແລະ Fuentes

ວິທີຂອງຈານວິຊ້ຂອງ Kata Praditwong ແລະ Prabhas Chongstitvatana [19], [20]

ໃນປີ 2001 Kata Praditwong ແລະ Prabhas Chongstitvatana ໄດ້ໃຊ້ກລຸຫຼືເຊີງວິວທີກາຮປະມານ
ຈາໂຄເນີນເຊີງກາພ ໂດຍນຳຂໍ້ມູນກາຮເກລືອນທີ່ຈິງຂອງຫຸ່ນຍັນຕົກ ທີ່ແລ້ວມາໃຊ້ວັດຄ່າຄວາມໜໍານາສົມຂອງຄ່າ
ຈາໂຄເນີນເຊີງກາພ

ໃນສານກາຮນ໌ອ້າງອີງເຮົາຕ້ອງກາຮປະມານຈາໂຄເນີນເຊີງກາພ ເພື່ອທີ່ຈະເກລືອນຫຸ່ນຍັນຕົກຈຸດ 3 ໄປຈຸດ
4 ດັ່ງຮູບທີ່ 13 ສັງເກດວ່າກັບຄ່າສຸດທ້າຍເກລືອນທີ່ຈາກຈຸດທີ່ 2 ມາຍັງຈຸດທີ່ 3 ດັ່ງນັ້ນຂໍ້ມູນກາຮເກລືອນທີ່ກັບຄ່າສຸດ ໄດ້ແກ່
ເວັກເຕອຮ້ອງຄວາມປັບປຸງແປ່ງຂອງຕຳແໜ່ງຂອງຫຸ່ນຍັນຕົກ $\Delta \mathbf{r}_{2 \rightarrow 3}$ ແລະເວັກເຕອຮ້ອງຄວາມປັບປຸງແປ່ງຂອງ
ພາຣາມີເຕອຮ້ອງລັກຍະເນັພາເຊີງກາພ $\Delta \mathbf{f}_{2 \rightarrow 3}$

ຈຸພາລັງກຽມໝໍາຫວິທາລ້າຍ



รูปที่ 13 ตัวແນ່ນຂອງສານການລັບອີງຕໍ່ຫຼັບວິທີກະບຽນຈາໂຄເບີຍເຊີງພາບຂອງ Kata Praditwong ແລະ

Prabhas Chongstitvatana

ค่าຈາໂຄເບີຍເຊີງພາບທີ່ມີຄ່າຄວາມເໝາະສົມທີ່ດີທີ່ຈຸດ 2 ຈະໃຫ້ຄວາມສັມພັນນີ້ທີ່ໄກສີເຄີຍກັບສາມາດ
 $\Delta \mathbf{f}_{2 \rightarrow 3} = \mathbf{J}_2 \Delta \mathbf{r}_{2 \rightarrow 3}$ ອີຣ້ $\Delta \mathbf{r}_{2 \rightarrow 3} = \mathbf{J}_2^{-1} \Delta \mathbf{f}_{2 \rightarrow 3}$ ດັ່ງນັ້ນ \mathbf{J}_2 ທີ່ມີຄ່າຄວາມເໝາະສົມທີ່ດີເມື່ອນຳ \mathbf{J}_2^{-1} ສູນກັບ
 $\Delta \mathbf{f}_{2 \rightarrow 3}$ ແລ້ວ ຈະຕ້ອງມີຄ່າໄກສີເຄີຍກັບ $\Delta \mathbf{r}_{2 \rightarrow 3}$ ທີ່ເຄີ່ອນທີ່ຈິງ ໂດຍໃນງານວິຊາຂອງ Kata Praditwong ແລະ Prabhas
Chongstitvatana (2001) ໄດ້ເລືອກພິ່ງກີ່ນຄວາມເໝາະສົມ (fitness function) ເປັນ

$$f(\mathbf{J}_2) = |\Delta \mathbf{r}_{2 \rightarrow 3} - \mathbf{J}_2^{-1} \Delta \mathbf{f}_{2 \rightarrow 3}| \quad (43)$$

ສິ່ງຈະເໜີ່ວ່າຢືນ $f(\mathbf{J}_2)$ ມີຄ່າເຂົ້າໄກສີ 0 ມາກເຖິ່ງ $\Delta \mathbf{r}_{2 \rightarrow 3}$ ກີ່ຈະມີຄ່າໄກສີເຄີຍກັບ $\Delta \mathbf{f}_{2 \rightarrow 3}$ ມາກເຖິ່ງ ທຳໄໝໄດ້
ค่าຈາໂຄເບີຍເຊີງພາບທີ່ເໝາະສົມກັບຈຸດ 2 ມາກເຖິ່ງ

ບັນດອນການປະມານຄ່າຈາໂຄເບີຍເຊີງພາບດ້ວຍວິທີນີ້ມີດັ່ງນີ້

1. ໃຫ້ຄ່າຈາໂຄເບີຍເຊີງພາບທີ່ໄດ້ຈາກການປະມານຄວົງທີ່ແລ້ວເປັນປະກາງ \mathbf{J}_2
2. ປະເມີນຄ່າຄວາມເໝາະສົມຂອງປະກາງ \mathbf{J}_2 ຈາກພິ່ງກີ່ນຄວາມເໝາະສົມໃນສາມາດທີ່ 43
3. ຂົນທີ່ຍັງໄວ້ໄດ້ໄດ້ຄ່າຄວາມເໝາະສົມທີ່ນໍາພອໃຈ ແລະຍັງໄວ້ທຸນຄວາມໃນການຄໍາວັດທີ່ດັ່ງໄໝ ໃຫ້ກຳນົດ 4-7 ຄໍາໄມ້ໄຫ້ຂຶ້ນໄປໜ້າ 8
4. ສ້າງປະກາງລູກ ໂດຍໃຫ້ຕັ້ງດໍາເນີນການເຊີງວິວດານາກາຮ (evolutionary operator) ໃຫ້ໜ້າດໍາເນີນການ
ມົວເຕັ້ນກັບປະກາງເຄີມ
5. ປະເມີນຄ່າຄວາມເໝາະສົມຂອງປະກາງລູກ ໂດຍໃຫ້ພິ່ງກີ່ນຄວາມເໝາະສົມພິ່ງກີ່ນດີຂຶ້ນກັບໜ້າ 2
6. ຜ້າຄ່າຄວາມເໝາະສົມຂອງປະກາງລູກນີ້ຍຸດກວ່າປະກາງ \mathbf{J}_2 ໃຫ້ແກ່ປະກາງ \mathbf{J}_2 ຕ້ອງປະກາງ
ລູກ
7. ກຳນົດໄປໜ້າ 3
8. ປະກາງ \mathbf{J}_2 ທີ່ໄດ້ຈາກບັນດອນຂຶ້ນຈະເປັນຄໍາດອນຂອງກລຸຫຼິທີເຊີງວິວດານາກາຮ
9. ໃຫ້ \mathbf{J}_3 ທີ່ຕ້ອງການຫາຄ່າໃນສານການລັບອີງມີຄ່າເທົ່າກັນຄ່າ \mathbf{J}_2 ທີ່ຫາໄດ້ຈາກກລຸຫຼິທີເຊີງວິວດານາກາຮ

ກລ່າວໂດຍສຽບ ກື້ອງ ວິທີນີ້ຈະປັບຄ່າ \mathbf{J}_2 ດ້ວຍກລຸຫຼິທີເຊີງວິວດານາກາຮແບບ $(1+1)$ ໂດຍມີພິ່ງກີ່ນຄວາມ
ເໝາະສົມເປັນ $|\Delta \mathbf{r}_{2 \rightarrow 3} - \mathbf{J}_2^{-1} \Delta \mathbf{f}_{2 \rightarrow 3}|$ ກລັງຈາກກລຸຫຼິທີເຊີງວິວດານາກາຮສິ່ນສຸດລົງ ຈະໃຫ້ \mathbf{J}_3 ທີ່ຕ້ອງການຫາຄ່າໃນ
ສານການລັບອີງມີຄ່າເທົ່າກັນຄ່າ \mathbf{J}_2 ທີ່ຫາໄດ້ຈາກກລຸຫຼິທີເຊີງວິວດານາກາຮ ດັ່ງແຜນພາບໃນຮູບທີ່ 14

หา \mathbf{J}_2 ด้วยกลยุทธ์เชิงวิวัฒนาการแบบ (1+1) โดยมีฟังก์ชันความเหมาะสมเป็น

$$|\Delta \mathbf{r}_{2 \rightarrow 3} - \mathbf{J}_2^{-1} \Delta \mathbf{f}_{2 \rightarrow 3}|$$



$$\text{ให้ } \mathbf{J}_3 = \mathbf{J}_2$$

รูปที่ 14 แผนภาพแสดงขั้นตอนของวิธีการประมาณจาโคเบียนเชิงภาพของ Kata Praditwong และ Prabhas

Chongstitvatana

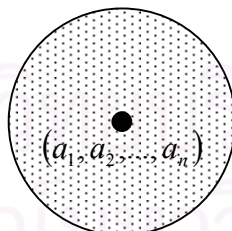
วิธีของงานวิจัยนี้

แนวคิดที่นำเสนอในนี้จะประมาณจาโคเบียนเชิงภาพซึ่งเป็นฟังก์ชันของตำแหน่งด้วยพหุนามเทย์เลอร์ อันดับแรก (first-order Taylor polynomial) ดังสมการที่ 44

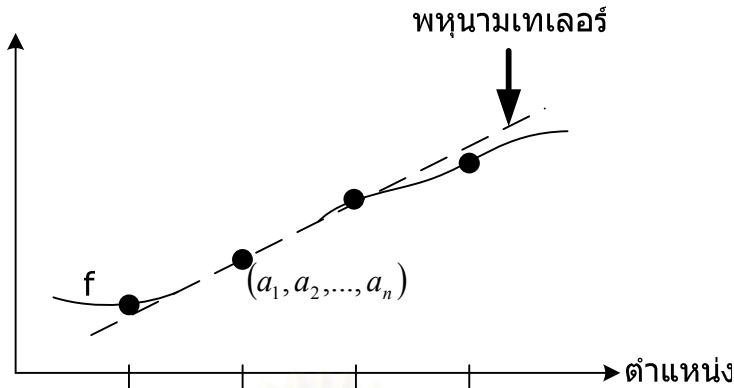
$$f(x_1, x_2, \dots, x_n) = f(a_1, a_2, \dots, a_n) + \sum_{k=1}^n (x_k - a_k) \frac{\partial}{\partial x_k} f(a_1, a_2, \dots, a_n) \quad (44)$$

เมื่อ $f(x_1, x_2, \dots, x_n)$ คือค่าของฟังก์ชันรอบจุด (a_1, a_2, \dots, a_n) และ $\frac{\partial}{\partial x_k} f(a_1, a_2, \dots, a_n)$ คือสัมประสิทธิ์ของพหุนามเทย์เลอร์รอบจุด (a_1, a_2, \dots, a_n)

เมื่อเราหาพหุนามเทย์เลอร์รอบจุด (a_1, a_2, \dots, a_n) ได้ เราสามารถประมาณค่าจาโคเบียนเชิงภาพ ณ บริเวณรอบจุด (a_1, a_2, \dots, a_n) ได้ตามแนวคิดในรูปที่ 15 และ 16

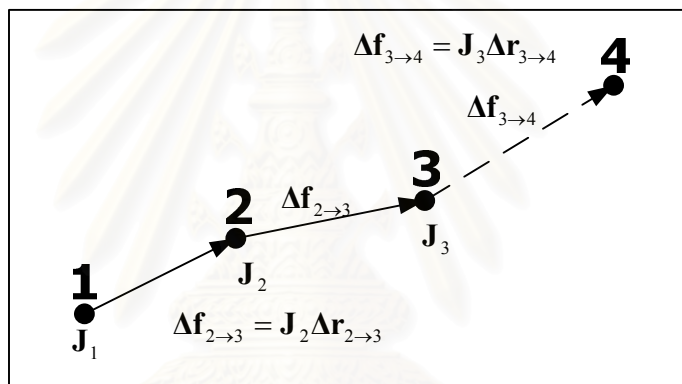


รูปที่ 15 บริเวณรอบๆ จุด (a_1, a_2, \dots, a_n) ในการประมาณด้วยพหุนามเทย์เลอร์



รูปที่ 16 กราฟแสดงแนวคิดการประมาณด้วยพหุนามเทย์เลอร์รอบจุด (a_1, a_2, \dots, a_n)

ในสถานการณ์อ้างอิงเราต้องการจะประมาณจากเบียนเชิงภาพที่จุดที่ 3 เพื่อที่จะเคลื่อนหุ่นยนต์จากจุด 3 ไปจุด 4 ดังรูปที่ 17



รูปที่ 17 ตำแหน่งของสถานการณ์อ้างอิงสำหรับวิธีการประมาณจากเบียนเชิงภาพของงานวิจัยนี้

ดังนั้นเราจะสร้างพหุนามเทย์เลอร์รอบจุด 2 โดยใช้กลยุทธ์เชิงวิวัฒนาการ และใช้พหุนามเทย์เลอร์ที่ได้หาค่าจากเบียนเชิงภาพ ณ จุด 3 J_3

ในการสร้างพหุนามเทย์เลอร์รอบจุด 2 เราจะต้องหาค่าของสัมประสิทธิ์ของพหุนามเทย์เลอร์รอบจุด 2

$$\frac{\partial}{\partial x_k} j_2 \text{ พิจารณาสมการที่ 45}$$

$$j = j_2 + \sum_{k=1}^n (1_k - 2_k) \frac{\partial}{\partial x_k} j_2 \quad (45)$$

ถ้าเราใช้พหุนามเทย์เลอร์รอบจุด 2 ประมาณค่าจากเบียนเชิงภาพที่จุด 1 j_1 จะได้

$$j_1 = j_2 + \sum_{k=1}^n (1_k - 2_k) \frac{\partial}{\partial x_k} j_2 \quad (46)$$

หรือเขียนให้อยู่ในรูป j_2 ได้ดังสมการที่ 47

$$j_2 = j_1 - \sum_{k=1}^n (1_k - 2_k) \frac{\partial}{\partial x_k} j_2 \quad (47)$$

ถ้าเราได้สัมประสิทธิ์ของพหุนามเทย์เลอร์รอบจุด 2 $\frac{\partial}{\partial x_k} j_2$ ในสมการที่ 47 ที่ทำให้ได้ j_2 ที่เหมาะสม สอดคล้องกับข้อมูลการเคลื่อนที่ครั้งล่าสุดจากจุด 2 ไป 3 เราจะได้ค่าสัมประสิทธิ์ของพหุนามเทย์เลอร์รอบจุด 2 $\frac{\partial}{\partial x_k} j_2$ ที่ต้องการ เราสามารถหาสัมประสิทธิ์ของพหุนามเทย์เลอร์รอบจุด 2 $\frac{\partial}{\partial x_k} j_2$ ในสมการที่ 47 ที่ สอดคล้องกับเงื่อนไขดังกล่าวได้โดยใช้กลยุทธ์เชิงวิัฒนาการ

ค่าจากโโคเบี้ยนเชิงภาพที่สอดคล้องกับข้อมูลการเคลื่อนที่ล่าสุดจากจุด 2 ไป 3 จะให้ความสัมพันธ์ที่ ใกล้เคียงกับสมการ $\Delta f_{2 \rightarrow 3} = J_2 \Delta r_{2 \rightarrow 3}$ หรือ $\Delta r_{2 \rightarrow 3} = J_2^{-1} \Delta f_{2 \rightarrow 3}$ ดังนั้น J_2 ที่มีค่าความเหมาะสมที่ดี เมื่อนำ J_2^{-1} คูณกับ $\Delta f_{2 \rightarrow 3}$ และจะต้องมีค่าใกล้เคียงกับ $\Delta r_{2 \rightarrow 3}$ ที่เคลื่อนที่จริง โดยในงานวิจัยนี้ได้เลือก พิจารณาความเหมาะสม เป็น $|\Delta r_{2 \rightarrow 3} - J_2^{-1} \Delta f_{2 \rightarrow 3}|$ ซึ่งจะเห็นว่าเมื่อมีค่าเข้าใกล้ 0 มากขึ้น $\Delta r_{2 \rightarrow 3}$ ก็จะมีค่า ใกล้เคียงกับ $\Delta f_{2 \rightarrow 3}$ มากขึ้น ทำให้ได้ค่าจากโโคเบี้ยนเชิงภาพที่เหมาะสมกับจุด 2 มากขึ้น

แนวคิดดังกล่าวข้างต้นมีขั้นตอนโดยละเอียดดังนี้

1. ให้ค่าสัมประสิทธิ์ของพหุนามเทย์เลอร์ที่ได้จากการประมาณครั้งที่แล้ว (การประมาณที่จุด 2) เป็น ประชากรกลุ่มผู้ให้กำเนิด

2. สร้างประชากรกลุ่มลูก โดยใช้ตัวดำเนินการเชิงวิัฒนาการ เช่น ตัวดำเนินการมิวเตชันกับประชากร กลุ่มผู้ให้กำเนิด

3. ประเมินค่าความเหมาะสมของประชากรแต่ละตัว โดยหาค่าความเหมาะสมของค่าสัมประสิทธิ์ของ พหุนามเทย์เลอร์ที่จุด 2 ซึ่งมีขั้นตอนดังนี้

3.1 หากจากโโคเบี้ยนเชิงภาพที่จุด 2 J_2 จากค่าสัมประสิทธิ์ของพหุนามเทย์เลอร์ที่กำลังลูก ประเมิน ให้จุด 1 มีพิกัดเป็น $(1_1, 1_2, \dots, 1_n)$ และจุด 2 มีพิกัดเป็น $(2_1, 2_2, \dots, 2_n)$ เราสามารถหาค่าสามาชิก แผลที่ 0 แนวตั้งที่ p ของจากโโคเบี้ยนเชิงภาพ $(j_2)_{op}$ ได้จากพหุนามเทเลอร์รอบจุด 2 ที่ใช้จากโโคเบี้ยนเชิงภาพ $(j_1)_{op}$ ที่จุด 1 ดังสมการที่ 48

$$(j_1)_{op} = (j_2)_{op} + \sum_{k=1}^n (1_k - 2_k) \frac{\partial}{\partial x_k} (j_2)_{op} \quad (48)$$

หรือเขียนให้อยู่ในรูป $(j_2)_{op}$ ได้ดังสมการที่ 49

$$(j_2)_{op} = (j_1)_{op} - \sum_{k=1}^n (1_k - 2_k) \frac{\partial}{\partial x_k} (j_2)_{op} \quad (49)$$

โดยค่าจากโโคเบี้ยนเชิงภาพที่จุด 1 เป็นค่าที่ได้มาจากการประมาณครั้งที่แล้ว

3.2 หากจากโโคเบี้ยนเชิงภาพพกผัน (inverse image Jacobian) J_2^{-1} ของจากโโคเบี้ยนเชิงภาพที่ได้ จากข้อ 3.1 เพื่อใช้หาค่าความเหมาะสมของประชากร

$$3.3 \text{ หากความเหมาะสมของประชากรจาก } |\Delta r_{2 \rightarrow 3} - J_2^{-1} \Delta f_{2 \rightarrow 3}|$$

4. เลือกประชากรที่มีค่าความเหมาะสมดีที่สุด (มีค่าน้อยที่สุด) เพื่อเป็นประชากรกลุ่มผู้ให้กำเนิดในรุ่น ลัดไป

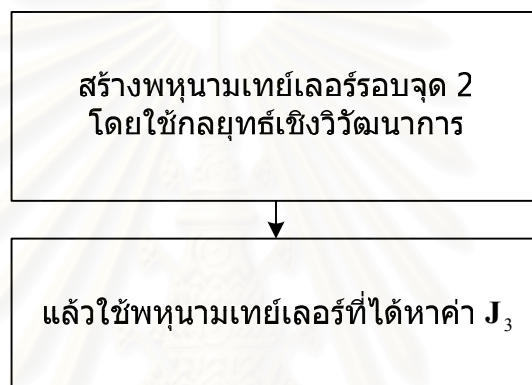
5. กลับไปทำขั้นตอนที่ 2 ถึง 4 จนกว่าจะได้ค่าความเหมาะสมที่พอใจ หรือหมดเวลาในการคำนวณ

6. หากค่าจาโคเบียนเชิงภาพที่จุด 3 \mathbf{J}_3 ให้จุด 2 มีพิกัดเป็น $(2_1, 2_2, \dots, 2_n)$ และจุด 3 มีพิกัดเป็น $(3_1, 3_2, \dots, 3_n)$ เราสามารถหาค่าสมาชิกแควร์ที่ 0 แนวตั้งที่ p ของจาโคเบียนเชิงภาพ $(\mathbf{j}_3)_{op}$ ได้ โดยใช้ พหุนามเทเลอร์รอบจุด 2 ที่ได้จากค่าสัมประสิทธิ์ที่เป็นคำตอบที่ดีที่สุดของกลุ่มนี้เชิงวิวัฒนาการข้างต้นดัง สมการที่ 50

$$(\mathbf{j}_3)_{op} = (\mathbf{j}_2)_{op} - \sum_{k=1}^n (3_k - 2_k) \frac{\partial}{\partial x_k} (\mathbf{j}_2)_{op} \quad (50)$$

โดยค่าจาโคเบียนเชิงภาพที่จุด 2 เป็นค่าจาโคเบียนเชิงภาพที่ได้จากค่าสัมประสิทธิ์ที่เป็นคำตอบที่ดีที่สุดใน ขั้นตอนที่ 3.1

แนวคิดนี้สามารถสรุปได้ดังรูปที่ 18



รูปที่ 18 แผนภาพแสดงขั้นตอนของวิธีการประมาณจาโคเบียนเชิงภาพของงานวิจัยนี้

สรุปท้ายบท

การวิเคราะห์และเปรียบเทียบวิธีการประมาณจาโคเบียนเชิงภาพแบบต่าง ๆ ในสถานการณ์อ้างอิง เดียวกันสามารถสรุปได้ดังตารางที่ 1

วิธีการประมาณจาโคเบียนเชิงภาพ แบบต่างๆ	ในสถานการณ์อ้างอิง ค่าจาโคเบียน เชิงภาพได้มาจากการประมาณที่จุด
Conkie และ Chongstitvatana [14]	จุด 1
Jagersand, Nelson, และ Fuentes [3], [15], [16]	จุด 2
Kata Praditwong และ Prabhas Chongstitvatana [19], [20]	จุด 2
งานวิจัยนี้	จุด 3

ตารางที่ 1 วิเคราะห์และเปรียบเทียบวิธีการประมาณจาโคเบียนเชิงภาพแบบต่าง ๆ

จากตารางที่ 1 จะเห็นว่า วิชี Conkie และ Chongstitvatana [14] ทำการประมาณเพียงครั้งเดียวที่จุดเริ่มต้น ทำให้ได้ค่าจากโคเบี้ยนเชิงภาพที่ประมาณได้天下ที่สุด ส่วนวิชีของ Jagersand, Nelson, และ Fuentes [3], [15], [16] กับวิชีของ Kata Praditwong และ Prabhas Chongstitvatana [19], [20] มีการปรับค่าจากโคเบี้ยน เชิงภาพทุก ๆ ครั้งที่เคลื่อนที่ และค่าจากโคเบี้ยนเชิงภาพได้มากจากการประมาณที่จุด 2 ส่วนวิชีของงานวิจัยนี้ค่าจากโคเบี้ยนเชิงภาพจะได้มาจากการประมาณที่จุดที่ต้องการหากอุจุ 3 ในสถานการณ์อ้างอิงโดยตรง ซึ่งจะทำให้มีความถูกต้องของระบบเพิ่มขึ้น



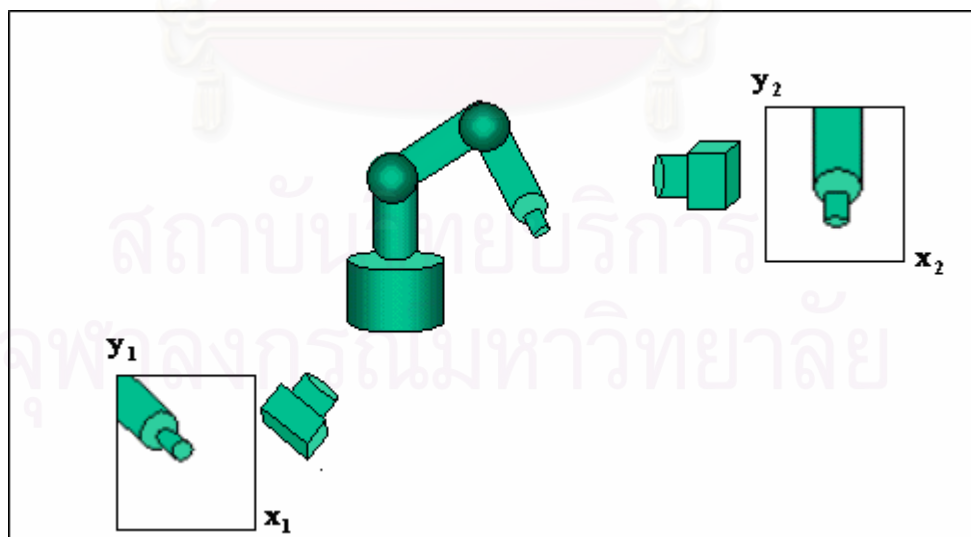
บทที่ 6

การทดลอง

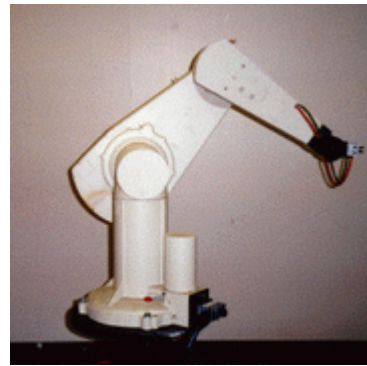
ในบทนี้จะกล่าวถึงสภาพแวดล้อมในการทดลองต่าง ๆ วิธีการประเมินผล ผลการทดลองของการประมวลผลเบียนเชิงภาพวิธีต่าง ๆ และการวิเคราะห์ผลการทดลอง

สภาพแวดล้อมในการทดลอง

การทดลองทำในแบบจำลองทางคอมพิวเตอร์บนเครื่อง Pentium MMX 233 MHz ภายใต้ระบบปฏิบัติการ Windows XP โดยใช้ MATLAB รุ่น 6.5 เป็นเครื่องมือในการจำลอง ระบบเซอร์โวเชิงภาพที่ใช้เป็นระบบกล้องสเตอโริโอซึ่งมีกล้องจำนวน 2 ตัว ดังรูปที่ 19 ระบบแบบหุ่นยนต์เป็นระบบ 3 มิติ ที่มีดีกรีของความอิสระ (degree of freedom) เท่ากับ 3 โดยได้จำลองแขนหุ่นยนต์รุ่น PUMA 560 เป็นแขนหุ่นยนต์ที่ใช้ในการทดลองดังรูปที่ 20 การทำงานของระบบคือพยายามเคลื่อนปลายแขนให้เข้าสู่เป้าหมาย โดยปลายแขนและเป้าหมายมองเห็นได้จากกล้องทั้งสองตลอดเวลาที่ทดลอง สมมุติระบบแกนพิกัดของกล้องตัวที่ 1 เป็นแกน x_1, y_1, z_1 ตามลำดับ และระบบแกนพิกัดของกล้องตัวที่ 2 เป็นแกน x_2, y_2, z_2 ตามลำดับ โดยให้แกน z เป็นแกนเชิงแสงของกล้องทั้งสอง กล้องจะวางด้วยอักขระที่แกน y_1 กับ y_2 ขนานกัน และแกน z_1 และ z_2 ทำมุมกัน 80 องศา ดังนั้นเราสามารถเลือกพารามิเตอร์ลักษณะเฉพาะเชิงภาพจากแกน x_1, y_1, z_1 เพียง 3 ตัว เนื่องจากแกน y_1 ขนานกับ y_2



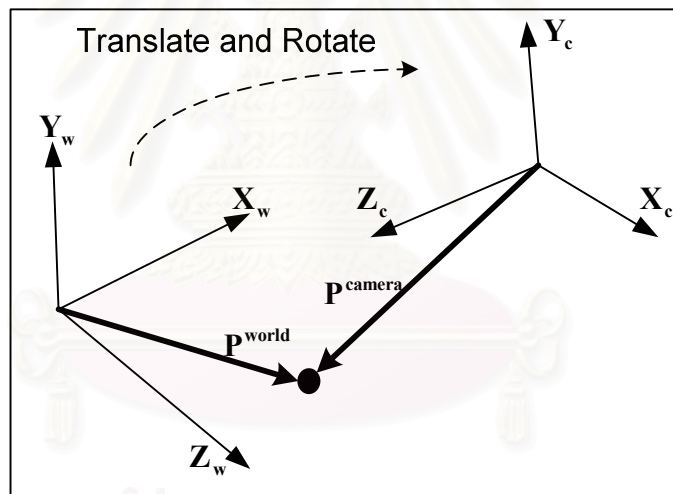
รูปที่ 19 ระบบเซอร์โวเชิงภาพที่ใช้ในการทดลอง



รูปที่ 20 แขนหุ่นยนต์ที่ใช้ในการทดลอง PUMA 560

ตัวแบบการจ่ายของกล้องในการทดลองนี้จะใช้การนำเข้าที่ศูนย์มิติ โดยขั้นตอนการคำนวณค่าพิกัดระบบภาพที่จะใช้เป็นพารามิเตอร์ลักษณะเฉพาะเชิงภาพจากค่าพิกัดในโลกจริงมีรายละเอียดดังนี้

1. แปลงค่าพิกัดในโลกจริงไปเป็นค่าพิกัดในระบบพิกัดของกล้อง โดยเลื่อนและหมุนแกน (translate and rotate) ของพิกัดในโลกจริงให้มีตำแหน่งและทิศทางเป็นไปตามแกนของกล้อง จะได้ค่าพิกัดในระบบพิกัดของกล้อง $\mathbf{P}^{\text{camera}}$ ดังรูปที่ 21



รูปที่ 21 การแปลงค่าพิกัดในโลกจริงไปเป็นค่าพิกัดในระบบพิกัดของกล้อง

2. แปลงค่าพิกัดในระบบพิกัด 3 มิติ ของกล้องไปเป็นค่าพิกัดบนระบบภาพ 2 มิติ โดยใช้พารามิเตอร์ของกล้องดังต่อไปนี้

- ความยาวโฟกัส (focal length) : ความยาวโฟกัสในเวกเตอร์ \mathbf{f}_c ขนาด 2×1
- จุดหลัก (principle point) : พิกัดจุดหลักในเวกเตอร์ \mathbf{c}_c ขนาด 2×1
- สัมประสิทธิ์เบี้ย (skew coefficient) : สัมประสิทธิ์เบี้ยเป็นตัวกำหนดความระหว่างแกน x กับแกน y ใช้สัญลักษณ์ α_c
- ความเพี้ยน (distortions) : สัมประสิทธิ์ความเพี้ยนของภาพประกอบด้วยความเพี้ยนตามรัศมี (radial distortion) และความเพี้ยนตามแนวสัมผัส (tangential distortion) ในเวกเตอร์ \mathbf{k}_c ขนาด 5×1

ให้ \mathbf{x}_n เป็นการฉายที่ถูกทำให้เป็นบรรทัดฐานแล้ว (normalized image projection) จะได้

$$\mathbf{x}_n = \begin{bmatrix} X_c / Z_c \\ Y_c / Z_c \end{bmatrix} = \begin{bmatrix} x \\ y \end{bmatrix} \quad (51)$$

ให้ $r^2 = x^2 + y^2$ เมื่อคิดความเพี้ยนของเลนส์ จะได้พิกัดใหม่ \mathbf{x}_d ดังนี้

$$\mathbf{x}_d = \begin{bmatrix} \mathbf{x}_d(1) \\ \mathbf{x}_d(2) \end{bmatrix} = (1 + \mathbf{k}_c(1)r^2 + \mathbf{k}_c(2)r^4 + \mathbf{k}_c(5)r^6)\mathbf{x}_n + \mathbf{d}_x \quad (52)$$

เมื่อ \mathbf{d}_x เป็นเวกเตอร์ความเพี้ยนตามแนวสัมผัสดังสมการต่อไปนี้

$$\mathbf{d}_x = \begin{bmatrix} 2\mathbf{k}_c(3)xy + \mathbf{k}_c(4)(r^2 + 2x^2) \\ \mathbf{k}_c(3)(r^2 + 2y^2) + 2\mathbf{k}_c(4)xy \end{bmatrix} \quad (53)$$

พิกัดสุดท้ายคือระบบ座푯านภาพ 2 มิติ จะเป็น

$$\begin{bmatrix} x_p \\ y_p \\ 1 \end{bmatrix} = \mathbf{K} \begin{bmatrix} \mathbf{x}_d(1) \\ \mathbf{x}_d(2) \\ 1 \end{bmatrix} \quad (53)$$

เมื่อ \mathbf{K} เป็นเมตริกซ์กล้องดังสมการต่อไปนี้

$$\mathbf{K} = \begin{bmatrix} \mathbf{f}_c(1) & \alpha_c \mathbf{f}_c(1) & \mathbf{c}_c(1) \\ 0 & \mathbf{f}_c(2) & \mathbf{c}_c(2) \\ 0 & 0 & 1 \end{bmatrix} \quad (53)$$

สำหรับในการทดลองนี้ก็ต้องมีพารามิเตอร์ดังกล่าวดังต่อไปนี้

1. ความยาวโฟกัส: $\mathbf{f}_c = [657.30254 \quad 657.74391]$

2. จุดหลัก: $\mathbf{c}_c = [302.71656 \quad 242.33386]$

3. สัมประสิทธิ์เบี่ยง: $\alpha_c = 0.00042$

4. ความเพี้ยน: $\mathbf{k}_c = [-0.52349 \quad 0.11868 \quad -0.00028 \quad 0.00005 \quad 0.00000]$

ในการทดลองนี้เราจะเปรียบเทียบวิธีประมาณจากเบียนเชิงภาพ 4 วิธี ได้แก่

1. วิธีที่ใช้จาโคปินเชิงภาพค่าเดียวกันทุกจุดตลอดการเคลื่อนที่จำนวน 1 วิธี ได้แก่ Conkie และ Chongstitvatana [14] (วิธีที่ 1)

2. วิธีที่ปรับค่าจาโคปินเชิงภาพใหม่ทุกจุดตลอดการเคลื่อนที่โดยใช้ข้อมูลการเคลื่อนครั้งที่แล้วซึ่งทำให้ได้จาโคปินเชิงภาพที่เหมาะสมกับจุดที่ແลี้ยวจำนวน 2 วิธี ได้แก่ Kata Praditwong และ Prabhas Chongstitvatana [19], [20] กับ Jagersand, Nelson, และ Fuentes [3], [15], [16] (วิธีที่ 2 และวิธีที่ 3 ตามลำดับ)

3. วิธีของงานวิจัยนี้ซึ่งปรับค่าจาโคปินเชิงภาพใหม่ทุกจุดตลอดการเคลื่อนที่โดยประมาณ ณ จุดปัจจุบัน (วิธีที่ 4)

การทดลองนี้จะใช้การสุ่มจุดเริ่มต้นและเป้าหมาย และค่าบันทึกเส้นทางนั้นมาทดลองกับวิธีการทั้ง 4 แบบ โดยมีเส้นทาง 90 เส้นทาง เส้นทางที่สุ่มขึ้นมาหนึ่งจะแบ่งเป็น 3 กลุ่ม ได้แก่ เส้นทางกลุ่มที่ 1 มีระยะทาง 10 เมตร จำนวน 30 เส้นทาง เส้นทางกลุ่มที่ 2 มีระยะทาง 20 เมตร จำนวน 30 เส้นทาง และเส้นทางกลุ่มที่ 3 มีระยะทาง 30 เมตร จำนวน 30 เส้นทาง ซึ่งจะทำให้เกิดความหลากหลายในการการเคลื่อนที่ของมนุษย์ ในการทดลองจะเปรียบเทียบขนาดของก้าว 2 ขนาด คือ $1/4$ กับ $1/8$ ว่า มีผลกระทบต่อประสิทธิภาพการเคลื่อนที่ของมนุษย์อย่างไร ขนาดของก้าวจะกำหนดเป็นสัดส่วนกับระยะทางที่เหลืออยู่ เพราะเมื่อหุ่นยนต์อยู่ห่างจากเป้าหมายมาก จะได้เคลื่อนที่ขั้นไถ่ระยะทางมาก เมื่อหุ่นยนต์อยู่ใกล้กับเป้าหมายมากขึ้น ระยะทางของ การเคลื่อนที่ก็จะน้อยลง เช่น ถ้าขนาดของก้าวเป็น $1/4$ หมายความว่า จะเคลื่อนหุ่นยนต์เข้าสู่เป้าหมายเพียง 1 ใน 4 ของระยะทางที่เหลืออยู่ระหว่างหุ่นยนต์กับเป้าหมายที่เห็นจากกล้อง

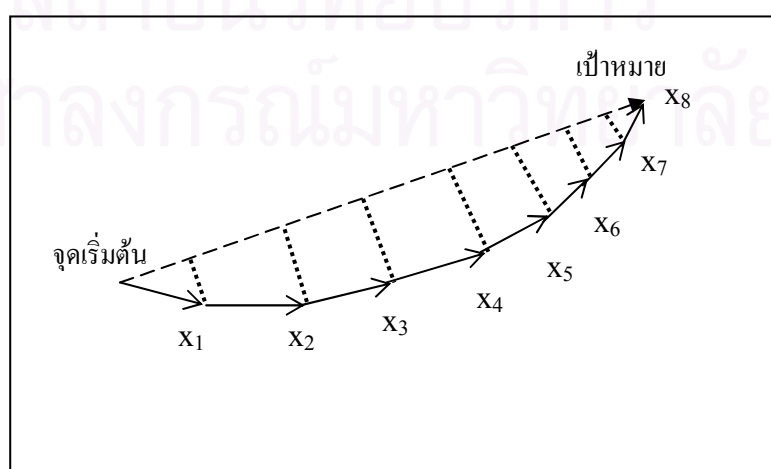
สำหรับวิธีประมาณจากเบียนเชิงภาพที่ใช้กลยุทธ์เชิงวิพากษ์ การกลยุทธ์เชิงวิพากษ์การที่ใช้เป็นแบบ $(1+1)$ โดยกลยุทธ์เชิงวิพากษ์การนี้จะสิ้นสุดที่รุ่นที่ 500 ตัวดำเนินการมิเตชันจะเป็นการวนกัดวยค่าที่สุ่มมา โดยมีการกระจายแบบปกติที่มีค่าเฉลี่ยเป็นศูนย์ และมีการปรับค่าความเบี่ยงเบนมาตรฐานทุก ๆ 20 รุ่น โดยค่าเริ่มต้นของค่าความเบี่ยงเบนมาตรฐานนั้นจะใช้ระยะทางจากจุดปัจจุบันถึงเป้าหมายหารด้วยระยะทางจากจุดเริ่มต้นถึงเป้าหมายที่เห็นได้จากกล้อง ดังนั้นค่าความเบี่ยงเบนมาตรฐานจะมีค่ามากที่สุดเป็นหนึ่ง หลังจากนั้นจะลดลงเรื่อยๆ เมื่อเคลื่อนที่เข้าใกล้เป้าหมายมากขึ้น

วิธีการประเมินผล

สำหรับการประเมินผลวิธีต่าง ๆ เราจะประเมินผลจากประสิทธิภาพในการเคลื่อนที่ของมนุษย์โดยใช้ตัววัด (metric) 2 ตัว ได้แก่

1. จำนวนครั้งที่ใช้ในการเคลื่อนปลายแขนเข้าสู่เป้าหมาย

2. ความผิดพลาดของวิถี (trajectory error) เป็นการวัดความผิดพลาดของวิถี โดยวัดระยะห่างระหว่างทางเดินของปลายแขนกับเส้นทางอุดมคติ (ideal path) ที่เป็นเส้นตรงระหว่างจุดเริ่มต้นจนถึงเป้าหมาย วิธีที่ทำให้แขนเดินทางได้ใกล้เคียงกับแนวเส้นตรงของจุดเริ่มต้นไปสู่เป้าหมายจะเป็นวิธีที่มีประสิทธิภาพในการเคลื่อนที่ที่ดีกว่า สำหรับการหาค่าความผิดพลาดของวิถีมีรายละเอียดดังต่อไปนี้



รูปที่ 23 การเคลื่อนที่ของปลายแขนเข้าสู่เป้าหมาย

เส้นทางที่เป็นอุดมคตินั้นคือเส้นทางที่เป็นเส้นตรงจากจุดเริ่มต้นถึงจุดเป้าหมาย แต่การเดินทางจริงของปลาบนน้ำจะเดินทางไปในแนวค่อนข้างโค้ง จะไม่เดินทางเป็นแนวเส้นตรงจากจุดเริ่มต้นไปยังเป้าหมาย ใน การทดลองปลาบนน้ำที่เดินทางไปทิลส์น้อยจนถึงจุดเริ่มต้น ได้จากการทดลองของวิธีที่ 23 มีการเคลื่อนย้าย ระยะทางระหว่างจุดที่ใช้ตลอดการเคลื่อนย้ายและเส้นทางในอุดมคติ ตัวอย่างจากรูปที่ 23 มีการเคลื่อนย้าย 8 ครั้ง เพื่อทำให้ปลาบนน้ำเดินทางเข้าสู่เป้าหมาย โดยการเคลื่อนย้ายครั้งแรกปลาบนน้ำเดินทางจากจุด x_1 เราจะหาระยะทาง ระหว่างจุด x_1 กับเส้นทางอุดมคติ จากนั้นเคลื่อนย้ายครั้งต่อไปซึ่งจะหยุดอีกทีที่จุด x_2 และว่าระยะทางแบบเดิม เมื่อ เคลื่อนย้ายเข้าสู่เป้าหมายแล้ว ให้นำค่าระยะทางทั้งหมดนั้นมาหาค่าเฉลี่ย ก็จะได้ค่าความผิดพลาดของวิธี

ผลการทดลอง

ในการทดลองวิธีของ Conkie และ Chongstitvatana [14] (วิธีที่ 1) กับวิธีของ Jagersand, Nelson, และ Fuentes [3], [15], [16] (วิธีที่ 3) เป็นขั้นตอนวิธีเชิงกำหนด (deterministic algorithm) ทุก ๆ ครั้งที่ทดลองเคลื่อนที่ ปลาบนน้ำเดินทางเข้าสู่เป้าหมาย การเคลื่อนที่ทุกครั้งจะเหมือนกัน ถ้าจุดเริ่มต้นและจุดสิ้นสุดเป็นคู่เดียวกัน แต่สำหรับ วิธีที่ใช้กลยุทธ์เชิงวิพากษ์ ได้แก่ วิธีของ Kata Praditwong และ Prabhas Chongstitvatana [19], [20] (วิธีที่ 2) กับวิธีของงานวิจัยนี้ (วิธีที่ 4) จะเป็นขั้นตอนวิธีเชิงสุ่ม (randomized algorithm) การทดลองแต่ละครั้งจะมีการ เคลื่อนที่ที่แตกต่างกัน แม้ว่าจุดเริ่มต้นและจุดสิ้นสุดเป็นคู่เดียวกัน ดังนั้นจึงต้องมีการทดลองซ้ำ ๆ กัน และใช้ ค่าเฉลี่ยมาเปรียบเทียบกับวิธีที่เป็นขั้นตอนวิธีเชิงกำหนด ในการทดลองนี้จะทำการทดลองซ้ำ 100 ครั้งสำหรับแต่ละเส้นทาง

ผลการเปรียบเทียบประสิทธิภาพในการเคลื่อนที่ของปลาบนน้ำที่ทดลองแต่ละวิธีจะแสดงเป็นจำนวนครั้ง เฉลี่ยในการเคลื่อนย้ายเข้าสู่เป้าหมายในตารางที่ 2 และ 5 ค่าความผิดพลาดของวิธีเฉลี่ยในตารางที่ 3 และ 6 สำหรับขนาดของก้าว 1/4 และ 1/8 และเวลาเฉลี่ยต่อการเคลื่อนที่ 1 ครั้งของแต่ละวิธีในตารางที่ 4 และ 7

กลุ่มที่	1 (10 cm 30 เส้นทาง)	2 (20 cm 30 เส้นทาง)	3 (30 cm 30 เส้นทาง)
วิธีที่ 1	21.1	22.7	27.5
วิธีที่ 2	18.5	19.6	22.3
วิธีที่ 3	18.4	19.7	22.8
วิธีที่ 4	18.4	19.9	21.6

ตารางที่ 2 แสดงจำนวนครั้งเฉลี่ยในการเคลื่อนย้ายเข้าสู่เป้าหมาย (ครั้ง) เมื่อขนาดของก้าวเป็น 1/4

กลุ่มที่	1 (10 cm 30 เส้นทาง)	2 (20 cm 30 เส้นทาง)	3 (30 cm 30 เส้นทาง)
วิธีที่ 1	6.94	10.41	23.93
วิธีที่ 2	3.36	4.72	8.97
วิธีที่ 3	3.15	3.60	7.43
วิธีที่ 4	1.42	1.84	3.99

ตารางที่ 3 แสดงค่าความผิดพลาดของวิธีเฉลี่ย (มิลลิเมตร) เมื่อขนาดของก้าวเป็น 1/4

กลุ่มที่	1 (10 cm 30 เส้นทาง)	2 (20 cm 30 เส้นทาง)	3 (30 cm 30 เส้นทาง)
วิธีที่ 1	0.057	0.053	0.051
วิธีที่ 2	0.091	0.089	0.088
วิธีที่ 3	0.063	0.057	0.052
วิธีที่ 4	0.164	0.162	0.159

ตารางที่ 4 แสดงเวลาเฉลี่ยต่อการเคลื่อนที่ 1 ครั้ง (วินาที) เมื่อขนาดของก้าวเป็น 1/4

กลุ่มที่	1 (10 cm 30 เส้นทาง)	2 (20 cm 30 เส้นทาง)	3 (30 cm 30 เส้นทาง)
วิธีที่ 1	43.2	48.5	58.1
วิธีที่ 2	37.8	41.2	47.7
วิธีที่ 3	37.3	41.4	47.3
วิธีที่ 4	37.1	41.6	46.9

ตารางที่ 5 แสดงจำนวนครั้งเฉลี่ยในการเคลื่อนแขวนเข้าสู่เข้าหมาย (ครั้ง) เมื่อขนาดของก้าวเป็น 1/8

กลุ่มที่	1 (10 cm 30 เส้นทาง)	2 (20 cm 30 เส้นทาง)	3 (30 cm 30 เส้นทาง)
วิธีที่ 1	5.97	9.23	20.62
วิธีที่ 2	1.82	2.61	4.82
วิธีที่ 3	1.71	2.25	4.42
วิธีที่ 4	0.72	0.94	2.11

ตารางที่ 6 แสดงค่าความผิดพลาดของวิธีเฉลี่ย (มิลลิเมตร) เมื่อขนาดของก้าวเป็น 1/8

กลุ่มที่	1 (10 cm 30 เส้นทาง)	2 (20 cm 30 เส้นทาง)	3 (30 cm 30 เส้นทาง)
วิธีที่ 1	0.035	0.034	0.029
วิธีที่ 2	0.069	0.067	0.058
วิธีที่ 3	0.038	0.036	0.032
วิธีที่ 4	0.139	0.130	0.125

ตารางที่ 7 แสดงเวลาเฉลี่ยต่อการเคลื่อนที่ 1 ครั้ง (วินาที) เมื่อขนาดของก้าวเป็น 1/8

จากการที่ 2 และ 5 จำนวนครั้งในการเคลื่อนแขวนเข้าสู่เข้าหมายของวิธีที่ 1 จะต่ำข้างสูง ส่วนวิธีอื่น ๆ มีจำนวนครั้งที่ใกล้เคียงกัน จากข้อมูลความผิดพลาดของวิธีในตารางที่ 3 และ 6 จะเห็นว่า วิธีที่ 1 มีความผิดพลาดของวิธีสูงที่สุด เนื่องจากใช้ค่าจ้าโโคเบี้ยนเชิงภาพค่าเดียวทุกจุดตลอดการเคลื่อนที่ ซึ่งจะมีความถูกต้องเฉพาะบริเวณแคบๆ เท่านั้น ส่วนวิธีที่ 2 และวิธีที่ 3 มีความผิดพลาดของวิธีที่ใกล้เคียงกัน เพราะประมาณค่าจ้าโโคเบี้ยนเชิงภาพที่จุดที่แล้ว แล้วนำมาใช้เป็นจ้าโโคเบี้ยนเชิงภาพที่จุดปัจจุบันเหมือนกัน ส่วนวิธีของงานวิจัยนี้ (วิธีที่ 4) ให้ค่าความผิดพลาดของวิธีที่ต่ำที่สุด เนื่องจากเป็นการประมาณจ้าโโคเบี้ยนเชิงภาพที่จุดปัจจุบัน แทนที่จะนำจ้าโโคเบี้ยนเชิงภาพที่ประมาณที่จุดที่แล้วมาใช้

เมื่อเปรียบเทียบขนาดของก้าวว่า มีผลกระทบต่อประสิทธิภาพการเคลื่อนที่ของหุ่นยนต์อย่างไร โดยเปรียบเทียบขนาดของก้าว 2 ขนาด คือ 1/4 กับ 1/8 จะเห็นว่า เมื่อขนาดของก้าวมีขนาดเล็ก จะทำให้ค่าความผิดพลาดของวิธีมีค่าลดลง เนื่องจากเมื่อขนาดของก้าวเล็ก จำนวนก้าวจะมากขึ้น จะทำให้มีการปรับค่าจากโคเบี้ยนเชิงภาพบ่อยขึ้น จาโคเบี้ยนเชิงภาพที่ใช้ในการเคลื่อนที่จึงถูกต้องมากยิ่งขึ้น

ผลการเปรียบเทียบเวลาในการเคลื่อนที่จากตารางที่ 4 และ 7 พบว่า วิธีที่มีความซับซ้อนมากกว่าจะใช้เวลานานกว่าวิธีที่มีความซับซ้อนน้อยกว่า วิธีที่ 1 มีการคำนวนค่าจากโคเบี้ยนเชิงภาพที่จุดเริ่มต้นเพียงครั้งเดียว จึงเป็นวิธีที่ใช้เวลาอยู่ที่สุด วิธีที่ 3 มีการคำนวนค่าจากโคเบี้ยนเชิงภาพใหม่ทุกจุดตลอดการเคลื่อนที่ จึงใช้เวลานานขึ้น วิธีที่ 2 มีการคำนวนค่าจากโคเบี้ยนเชิงภาพใหม่ทุกจุดตลอดการเคลื่อนที่เหมือนวิธีที่ 3 แต่ใช้กลยุทธ์เชิงวิพากษ์มีการวนซ้ำ (loop) หลายรอบในการคำนวน ทำให้ใช้เวลามากขึ้น ส่วนวิธีของงานวิจัยนี้ใช้เวลามากที่สุด เนื่องจากมีการคำนวนที่มากที่สุดโดยใช้กลยุทธ์เชิงวิพากษ์กับพื้นที่ MATLAB ซึ่งเป็นสภาพแวดล้อมในการทดลองเป็นสภาพแวดล้อมที่ค่อนข้างช้า แต่ในปัจจุบันความเร็วในการประมวลผลของหน่วยประมวลผลนิวเคลียร์ (digital chip) จริงมีความเร็วสูงมาก ดังนั้นเวลาในการทำงานของโปรแกรมในการใช้งานจริงจึงไม่น่าจะเป็นปัญหามากนัก

สรุปท้ายบท

ในบทนี้ได้อธิบายรายละเอียดสภาพแวดล้อมในการทดลองต่าง ๆ ข้อจำกัดในการทดลอง วิธีการประเมินผล ผลการทดลองของการประมาณจากโคเบี้ยนเชิงภาพวิธีต่าง ๆ และการวิเคราะห์ผลการทดลอง

สถาบันวิทยบริการ
จุฬาลงกรณ์มหาวิทยาลัย

บทที่ 7

บทสรุปและข้อเสนอแนะ

ในบทนี้จะสรุปงานวิจัยและการทดลองที่ได้ทำมา รวมทั้งข้อเสนอแนะที่ได้จากการทดลองเกี่ยวกับการวิจัยในขั้นต่อไป ตลอดจนผลการวิจัยที่ได้

สรุปผลการวิจัย

งานวิจัยนี้มีจุดประสงค์ เพื่อหาวิธีประมาณจากเบียนเชิงภาพสำหรับระบบเชอร์โวเชิงภาพที่มีความถูกต้องมากขึ้น วิธีที่นำเสนอเป็นวิธีที่ปรับจากโคเบียนเชิงภาพตลอดการเคลื่อนที่ โดยจะประมาณจากเบียนเชิงภาพของตำแหน่งปัจจุบันด้วยพหุนามเทย์เลอร์ และใช้กลยุทธ์เชิงวัตถนาการหาค่าสัมประสิทธิ์ของพหุนามนั้น งานวิจัยนี้ได้ทำการทดลองโดยจำลองระบบเชอร์โวเชิงภาพที่มีศักยภาพที่สูง แต่ต้องมีความอิสระเท่ากับ 3 ปีองกลับด้วยระบบกล้องสเตอริโอ การทดลองได้เปรียบเทียบวิธีนี้กับวิธีที่ใช้จากโคเบียนเชิงภาพค่าเดียวกันทุกจุดตลอดการเคลื่อนที่จำนวน 1 วิธี และวิธีที่ปรับค่าจากโคเบียนเชิงภาพใหม่ทุกจุดตลอดการเคลื่อนที่ โดยใช้ข้อมูลการเคลื่อนครั้งที่แล้ว ซึ่งทำให้ได้จากโคเบียนเชิงภาพที่เหมาะสมกับจุดที่แล้วจำนวน 2 วิธี

จะเห็นว่า วิธี Conkie และ Chongstitvatana [14] ทำการประมาณเพียงครั้งเดียวที่จุดเริ่มต้น ทำให้ได้ค่าจากโคเบียนเชิงภาพที่ประมาณได้หมายที่สุด ส่วนวิธีของ Jagersand, Nelson, และ Fuentes [3], [15], [16] กับวิธีของ Kata Praditwong และ Prabhas Chongstitvatana [19], [20] มีการปรับค่าจากโคเบียนเชิงภาพทุก ๆ ครั้งที่เคลื่อนที่ และค่าจากโคเบียนเชิงภาพได้มาจาก การประมาณที่จุดที่แล้ว ส่วนวิธีของงานวิจัยนี้ค่าจากโคเบียนเชิงภาพจะได้มาจากการประมาณที่จุดที่ต้องการหาโดยตรง ซึ่งจะทำให้มีความถูกต้องของระบบเพิ่มขึ้น

จากการทดลองพบว่า วิธีที่มีความซับซ้อนมากกว่าจะใช้เวลานานกว่าวิธีที่มีความซับซ้อนน้อยกว่า แต่ในปัจจุบันความเร็วในการประมาณผลของหน่วยประมวลผลบนชิปคิดิทัลชิ้นต่อต้องจากสภาพแวดล้อม MATLAB ที่ใช้ในการทดลอง ดังนั้นเวลาในการทำงานของโปรแกรมในการใช้งานจริงจังไม่น่าจะเป็นปัญหามากนัก นอกเหนือนี้ขนาดของก้าวขั้นต่อต้องมีผลกระทบต่อความผิดพลาดของวิธีด้วย โดยขนาดของก้าวที่เล็กกว่ามีค่าความผิดพลาดของวิธีที่น้อยกว่าขนาดของก้าวที่ใหญ่กว่า ผลการทดลองแสดงว่า วิธีนี้สามารถทำงานได้ดีและให้ค่าความผิดพลาดของวิธีน้อยกว่าวิธีอื่น ๆ

ข้อเสนอแนะ

- อาจพัฒนาวิธีการโดยทดลองใช้พหุนามเทย์เลอร์ศักยภาพสูงขึ้น เพื่อทำให้การประมาณมีความละเอียดยิ่งขึ้น แต่จะทำให้ใช้เวลานานขึ้น อีกทั้งต้องใช้ข้อมูลการเคลื่อนที่ข้อมูลตำแหน่งกลับไปมากขึ้น และเนื่องจากตำแหน่งแต่ละตำแหน่งในการเคลื่อนที่อาจไม่ได้อยู่ติดกันเหมือนในอุดมคติ จึงอาจทำให้ปัญหาความคลาดเคลื่อนในการประมาณขึ้นได้

- อาจลองใช้กลยุทธ์เชิงวิวัฒนาการแบบอื่น ๆ หรือปรับปรุงพารามิเตอร์ของกลยุทธ์เชิงวิวัฒนาการ เพื่อให้เหมาะสมกับระดับของปัญหามากยิ่งขึ้น แต่ต้องคำนึงถึงความเร็วในการคำนวณด้วย ในอนาคต เมื่ออุปกรณ์การคำนวณมีความเร็วสูงขึ้น การใช้กลยุทธ์เชิงวิวัฒนาการที่มีความซับซ้อนมาก ๆ อาจกลายเป็นประเด็นที่น่าสนใจ
- อาจทดลองวิธีการกับปัญหาที่มีมิติสูงขึ้น เช่น ทดลองกับแบบหุ่นยนต์ที่มีดีกรีของความอิสระสูงขึ้น เพื่อทดสอบดูว่าวิธีประมาณนี้สามารถใช้กับปัญหาที่มีความซับซ้อนมากขึ้นได้ดีหรือไม่ อีกทั้งยังอาจปรับปรุงรายละเอียดในการประมาณและพารามิเตอร์ของกลยุทธ์เชิงวิวัฒนาการ เพื่อให้เหมาะสมกับปัญหาที่มีมิติสูง ๆ มากยิ่งขึ้น
- อาจมีการสร้างสภาพแวดล้อมในการทดลองให้ยากขึ้น โดยอาจจะมีการกำหนดให้เป้าหมายมีการเคลื่อนที่ออกจากตำแหน่งเดิมไปเรื่อย ๆ หรืออาจจะให้มีอุปสรรคมาวางทาง แล้วนำวิธีประมาณนี้ไปปรับใช้กับสภาพแวดล้อมดังกล่าว ซึ่งอาจจะต้องปรับเปลี่ยนวิธีประมาณบางส่วน เพื่อให้เข้ากับสภาพแวดล้อมนั้น ๆ
- อาจนำวิธีการนี้ไปทดสอบกับระบบหุ่นยนต์ของจริง เพื่อศึกษาว่าประสิทธิภาพของวิธีการในการทำงานจริงเป็นอย่างไร อีกทั้งดูว่าขั้นตอนจัดทำในสภาพแวดล้อมจริงที่ควรนำไปใช้ในการปรับปรุงวิธีประมาณด้วยหรือไม่

สถาบันวิทยบริการ จุฬาลงกรณ์มหาวิทยาลัย

รายการอ้างอิง

1. Hill, J., and Park, W. T. Real time control of a robot with a mobile camera, Proceedings of the 9th International Symposium on Industrial Robots, pp. 233-246. Washington, DC, 1979.
2. Hutchinson, S.; Hager, G. D.; and Corke, P. I. A tutorial on visual servo control. IEEE Transactions on Robotics and Automation 12, 5 (October 1996): 651-670.
3. Jagersand, M. On-line Estimation of Visual-Motor Models for Robot Control and Visual Simulation. Doctoral dissertation, Department of Computer Science, University of Rochester, 1997.
4. Yoshimi, B. H., and Allen, P. K. Active uncalibrated visual servoing, Proceedings of IEEE International Conference on Robotics and Automation, pp. 156-161. San Diego, CA, 1994.
5. Sanderson, A. C., and Weiss, L. E. Image-based visual servo control using relational graph error signals, Proceedings of IEEE International Conference on Cybernetics and Society, pp. 1074-1077. Cambridge, MA, 1980.
6. Shirai, Y., and Inoue, H. Guiding a robot by visual feedback in assembling tasks. IEEE Transactions on Pattern Recognition 5, 2 (March 1973): 99-108.
7. Sanderson, A. C.; Weiss, L. E.; and Neuman, C. P. Dynamic sensor-based control of robots with visual feedback. IEEE Transactions on Robotics and Automation 3, 5 (October 1987): 404-417.
8. Espiau, B.; Chaumette, F.; and Rives, P. A new approach to visual servoing in robotics. IEEE Transactions on Robotics and Automation 8, 3 (June 1992): 313-326.
9. Papanikopoulos, N. P., and Khosla, P. K. Adaptive robotic visual tracking: theory and experiments. IEEE Transactions on Automatic Control 38, 3 (March 1993): 429-445.
10. Papanikopoulos, N. P.; Khosla, P. K.; and Kanade, T. Visual tracking of a moving target by a camera mounted on a robot: a combination of control and vision. IEEE Transactions on Robotics and Automation 9, 1 (February 1993): 14-35.
11. Feddema, J., and Mitchell, O. Vision-guided servoing with feature-based trajectory generation. IEEE Transactions on Robotics and Automation 5, 5 (October 1989): 691-700.
12. Castano, A., and Hutchinson, S. A. Visual compliance: task-directed visual servo control. IEEE Transactions on Robotics and Automation 10, 3 (June 1994): 334-342.
13. Hashimoto, K.; Kimoto, T.; Ebine, T.; and Kimura, H. Manipulator control with image-based visual servo, Proceedings of IEEE International Conference on Robotics and Automation, pp. 2267-2272. Sacramento, CA, 1991.
14. Conkie, A., and Chongstitvatana, P. An Uncalibrated Stereo Visual Servo System, Proceedings of British Machine Vision Conference, pp. 277-280. Oxford, United Kingdom, 1990.

15. Jagersand, M. Visual servoing using trust region methods and estimation of the full coupled visual-motor Jacobian, Proceedings of IASTED Applications of Control and Robotics, pp. 105-108. Orlando, FL, 1996.
16. Jagersand, M.; Fuentes, O; and. Nelson, R. Experimental evalution of uncalibrated visual servoing for precision manipulation, Proceedings of IEEE International Conference on Robotics and Automation, pp. 2874-2880. Albuquerque, NM, 1997.
17. Hosada, K., and Asada, M. Versatile visual servoing without knowledge of true Jacobian, Proceedings of IEEE/RSJ/GI International Conference on Intelligent Robots and Systems, pp. 186-193. Munich, Germany, 1994.
18. Hosada, K.; Sakamoto, K.; and Asada, M. Trajectory generation for obstacle avoidance of uncalibrated stereo visual servoing without 3D reconstruction, Proceedings of IEEE International Conference on Intelligent Robots and Systems, pp. 29-34. Pittsburgh, Pennsylvania, 1995.
19. คทา ประดิษฐ์. อัมเมจจาโคเบียนแบบปรับตัวโดยวิวัฒนาการสำหรับแขนหุ่นยนต์ในสามมิติ. วิทยานิพนธ์ปริญญาโท สาขาวิชาศึกษาและพัฒนาการ ภาควิชาศึกษาและพัฒนาการ คณะวิศวกรรมศาสตร์ จุฬาลงกรณ์มหาวิทยาลัย, 2544.
20. Praditwong, K., and Chongstitvatana, P. An uncalibrated visual servoing using evolution strategies to estimate image Jacobian, Proceedings of the 2nd Asian Symposium on Industrial Automation and Robotics, pp. 60-63. Bangkok, Thailand, 2001.
21. Darwin, C. Origin of the Species. London, United Kingdom: John Murray, 1859.
22. Rechenberg, I. Cybernetic Solution Path of an Experimental Problem. Translated by B. F. Toms, Royal Aircraft Establishment Library Translation No. 1122. Harts, United Kingdom: Ministry of Aviation, Royal Aircraft Establishment, 1965.
23. Schwefel, H.-P. Kybernetische Evolution als Strategie der experimentellen Forschung in der Stromungstechnik. Diploma thesis, Hermann-Fottinger Institute for Hydrodynamics, Technical University of Berlin, 1965.
24. Schwefel, H.-P. Numerical optimization of computer models. Chichester, United Kingdom: John Wiley & Sons, 1981.
25. Rechenberg, I. Evolutionsstrategie : Optimierung Technischer Systeme nach Prinzipien der Biologischen Evolution. Stuttgart, Germany: Frommann-Holzboog Verlag, 1973.
26. Schwefel, H.-P. Evolution and Optimum Seeking. New York: Wiley, 1995.
27. Rudolph, G. On correlated mutations in evolution strategies. In R. Manner; and B. Manderick (eds.), Parallel Problem Solving from Nature -- PPSN II, pp. 105-114. Amsterdam, The Netherlands: Elsevier, 1992.
28. Rudolph, G. Evolution strategies. In T. Baeck; D. B. Fogel; and Z. Michalewicz (eds.), Handbook of Evolutionary Computation, pp. B1.3:1-6. London, United Kingdom: The Institute of Physics, 1997.
29. Signell, P. Taylor's Polynomial Approximation for Functions. East Lansing, MI: Project PHYSNET, Michigan State University, 2002.

30. Weisstein, E. W. CRC Concise Encyclopedia of Mathematics (2 nd ed.). Boca Raton, FL: CRC Press, 2002.
31. Croft, T., Davison, R., and Hargreaves, M. Engineering Mathematics: A Foundation for Electronic, Electrical, Communications, and Systems Engineers (3 rd ed.). Upper Saddle River, New Jersey: Prentice Hall, 2000.
32. Horn, B. K. P. Robot Vision. Cambridge, MA: MIT Press, 1986.
33. Hollinghurst, N., and Cipolla, R. Uncalibrated stereo hand eye coordination. Image and Vision Computing 12, 3 (April 1994): 187-192.



ประวัติผู้เขียนวิทยานิพนธ์

นายบริวัตร แก้วสกิตย์ เกิดวันที่ 24 ตุลาคม พ.ศ. 2522 จังหวัดกรุงเทพมหานคร สำเร็จการศึกษาปริญญาวิศวกรรมศาสตรบัณฑิต สาขาวิชาชีวกรรมไฟฟ้า ภาควิชาชีวกรรมไฟฟ้า คณะวิศวกรรมศาสตร์ มหาวิทยาลัยเกษตรศาสตร์ ในปีการศึกษา 2545 เข้าศึกษาต่อที่จุฬาลงกรณ์มหาวิทยาลัยในหลักสูตรวิทยาศาสตรบัณฑิต สาขาวิทยาศาสตร์คอมพิวเตอร์ ภาควิชาชีวกรรมคอมพิวเตอร์ คณะวิศวกรรมศาสตร์

สถาบันวิทยบริการ
จุฬาลงกรณ์มหาวิทยาลัย